



appunti
www.centroappunti.it

Corso Luigi Einaudi, 55 - Torino

Appunti universitari

Tesi di laurea

Cartoleria e cancelleria

Stampa file e fotocopie

Print on demand

Rilegature

NUMERO: 1518A -

ANNO: 2015

APPUNTI

STUDENTE: Di Tullio

MATERIA: Dinamica dei Sistemi Meccanici. Prof. Marchesiello

Il presente lavoro nasce dall'impegno dell'autore ed è distribuito in accordo con il Centro Appunti.

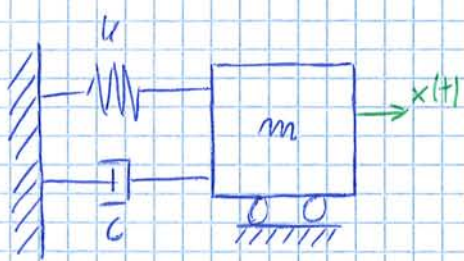
Tutti i diritti sono riservati. È vietata qualsiasi riproduzione, copia totale o parziale, dei contenuti inseriti nel presente volume, ivi inclusa la memorizzazione, rielaborazione, diffusione o distribuzione dei contenuti stessi mediante qualunque supporto magnetico o cartaceo, piattaforma tecnologica o rete telematica, senza previa autorizzazione scritta dell'autore.

ATTENZIONE: QUESTI APPUNTI SONO FATTI DA STUDENTI E NON SONO STATI VISIONATI DAL DOCENTE.
IL NOME DEL PROFESSORE, SERVE SOLO PER IDENTIFICARE IL CORSO.

DINAMICA DEI SISTEMI MECCANICI (Teoria) (Parte 1.)

Dinamica: studia la traiettoria del moto del corpo in relazione alle cause che lo producono. Esempi possono essere il transitorio di frena di un veicolo o un problema di inti.

- La risposta libera è l'andamento del moto nel tempo di una massa m a partire da generiche condizioni iniziali; la risposta forzata è il comportamento del sistema soggetto a un'azione esterna.

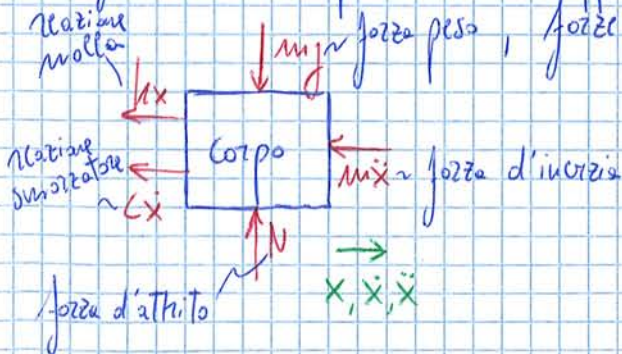


Si considera un sistema a un grado di libertà (1DOF), la massa m è vincolata a traslare orizzontalmente e sono ad essa collegate una molla di rigidezza k e uno smorzatore viscoso con costante c .

Il sistema è considerato disdotto: è costituito da elementi isolati, non contigui tra loro. In assenza di fenomeni dissipativi, le oscillazioni della massa tendono all'infinito; nella realtà a c si associa una capacità dissipativa e per mantenere il moto è necessaria l'introduzione di una forzante.

Per 1 DOF basta un'unica coordinata per descrivere il sistema, che è lineare cioè governato da un'eq. lineare invariante (1DOF LII).

- Diagramma di corpo libero: rappresentazione grafica F e M agenti (comprese le reazioni molla e墙)



Equilibrio dinamico per $\sum F_i = 0$

$$\uparrow N - mg = 0$$

$$\leftarrow M\ddot{x} + C\dot{x} + kx = 0$$

L'espressione di equilibrio è un'equazione lineare tempo invariata (LTI), cioè un'equazione differenziale del secondo ordine, omogenea e a coefficienti costanti. Nel campo lineare vale il principio di sovrapposizione degli effetti.

$$(LTI): \quad m \cdot \frac{d^2x}{dt^2} + c \cdot \frac{dx}{dt} + k \cdot x = 0$$

$$\text{Soluzione cercata: } x(t) = A \cdot e^{st}$$

La parte reale delle sol. sempre negativa indica un andamento decrescente dell'ampiezza nel tempo. Tale caratteristica è tipica di un sistema stabile.

Si prosegue trovando le risposte del sistema: * cff. derivata seconda

$$*\cancel{m}\ddot{x} + \cancel{c}\dot{x} + kx = 0 \Rightarrow \ddot{x} + \frac{\cancel{c}}{m}\dot{x} + \frac{k}{m}x = 0$$

$$\frac{\cancel{c}}{m} = 2\zeta\omega_n, \frac{k}{m} = \omega_n^2 \Rightarrow \ddot{x} + 2\zeta\omega_n\dot{x} + \omega_n^2 x = 0$$

ω_n : pulsazione naturale, indica che in essenza di smorzamento, il sistema oscilla liberamente con questa pulsazione.

• sistema sovrasorzato ($\zeta > 1$): A_1, A_2 si determinano con le condizioni iniziali, che normalmente sono la posizione e la velocità all'istante iniziale $[x(0), \dot{x}(0)]$ problema di Cauchy

$$x(t) = A_1 \cdot e^{s_1 t} + A_2 \cdot e^{s_2 t} \Rightarrow x(t) = A_1 \cdot e^{t + \zeta\omega_n \sqrt{\zeta^2 - 1}} + A_2 \cdot e^{t - \zeta\omega_n \sqrt{\zeta^2 - 1}}$$

$$\zeta_{1,2} = -\zeta\omega_n \pm \omega_n \sqrt{\zeta^2 - 1}$$

• sistema critico ($\zeta = 1$): gli zeri sono coincidenti e non è presente instabilità.

$$x(t) = e^{s_1 t} \cdot (A_1 + A_2) \Rightarrow x(t) = (A_1 + A_2) \cdot e^{-\omega_n t}$$

$$\zeta_1 = \zeta_2 = -\omega_n$$

• sistema sottosorzato ($\zeta < 1$): caso più frequente in pratica. Essendo $\Delta < 0$, gli zeri del polinomio sono

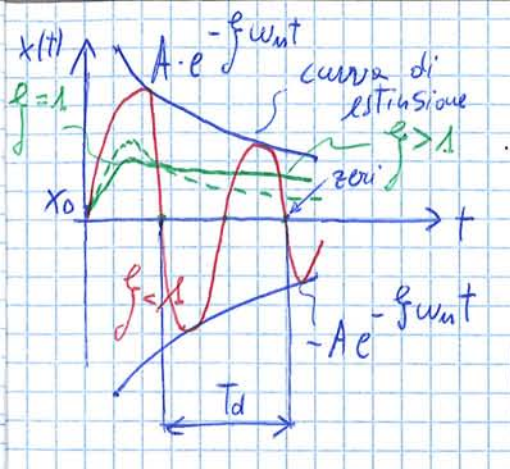
$$\zeta_{1,2} = -\zeta\omega_n \pm i\omega_n \sqrt{1 - \zeta^2} \quad i = \sqrt{-1}$$

Pulsazione delle oscillazioni libere smorzate (pulsazione smorzata): $\omega_d = \omega_n \sqrt{1 - \zeta^2}$

$$\zeta_{1,2} = -\zeta\omega_n \pm i\omega_d \Rightarrow x(t) = A_1 \cdot e^{(-\zeta\omega_n - i\omega_d)t} + A_2 \cdot e^{(-\zeta\omega_n + i\omega_d)t}$$

$$x(t) = |A_1 \cdot e^{-i\omega_d t} + A_2 \cdot e^{i\omega_d t}| e^{-\zeta\omega_n t}$$

Applichiamo la forma trigonometrica dei numeri complessi (formula di Eulero):



- Forzanti → si studia la risposta al gradieno.

Consideriamo il sistema precedente soggetto a una forzante, si vuole determinare la risposta del sistema.

$$m\ddot{x} + c\dot{x} + kx = f(t) \quad \text{forzante}$$

$$f(t) = f_0 \cdot u(t) \quad \text{gradieno unitario se } t \text{ positivo}$$

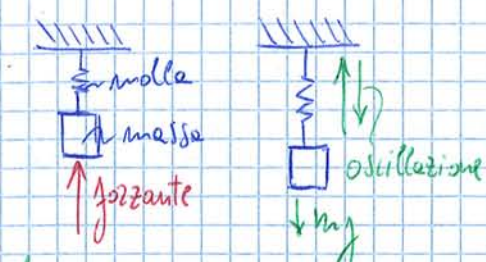
$$u(t) = \begin{cases} 0, & t < 0 \\ 1, & t \geq 0 \end{cases} \Rightarrow f(t) = \begin{cases} = f_0, & t > 0 \end{cases}$$

un gradieno è una sollecitazione che vale zero fin quando il tempo è zero, assume valori costanti per tempi positivi.

$$\text{per } t \geq 0 : m\ddot{x} + c\dot{x} + kx = f_0 \cdot 1$$

si ipotizzano le seguenti cond. iniziali $x(0) = 0$, $\dot{x}(0) = 0$, la soluzione dell'eq. è data dalla risposta a regime (soluzione particolare x_p) e dall'integrale generale dell'omogeneità associata (soluzione generale x_g):

$$x(t) = x_g(t) + x_p(t)$$



la forza peso permette lo spostamento, ma non influenza w_d

- Integrale generale: $x_g(t) = (a \cos \omega_d t + b \sin \omega_d t) e^{-\frac{c}{m}t}$

$$\lim_{t \rightarrow \infty} x_g(t) = 0$$

- Integrale particolare: A regime la forza dello smorzamento viene contrastata dalla forza elastica della molla.

$$\lim_{t \rightarrow \infty} x_g(t) + x_p(t) = x_p = \frac{f_0}{k}$$

Le cond. iniziali s'imponevano sulla sol. completa

$$x(t) = (a \cos \omega_d t + b \sin \omega_d t) e^{-\frac{c}{m}t} + \frac{f_0}{k}$$

$$\dot{x}(t) = \omega_d \cdot [-a \sin \omega_d t + b \cos \omega_d t] e^{-\frac{c}{m}t} - \frac{c}{m} [a \cos \omega_d t + b \sin \omega_d t] e^{-\frac{c}{m}t}$$

Imponendo le cond. iniziali:

$$\begin{cases} x(0) = a + \frac{f_0}{k} = 0 \\ \dot{x}(0) = \omega_d \cdot b - \frac{c}{m} \cdot a = 0 \end{cases} \Rightarrow \begin{cases} a = -\frac{f_0}{k} \\ b = \frac{\omega_d \cdot a}{\omega_d - \frac{c}{m}} \end{cases}$$

$$f(t) = F_0 \cdot \cos \omega t + F_0 \sin \omega t = \text{Re}[F_0 \cdot e^{i\omega t}] + \text{Im}[F_0 \cdot e^{i\omega t}]$$

$$\text{Eulero: } F_0 \cdot e^{i\omega t} = F_0 \cdot \cos \omega t + F_0 \sin \omega t$$

$$F_0 \cdot \cos \omega t = \text{Re}[F_0 \cdot e^{i\omega t}] = Mx + Cx + Kx$$

$$\Rightarrow M\ddot{x} + Cx + Kx = F_0 \cdot e^{i\omega t}, \text{ eq. complessa SDOF}$$

$F_0 \in \mathbb{R}$ è un ampiezza, la soluzione cercata è la parte reale della risultante in campo complesso, quindi la soluzione a regime con $X_0 \in \mathbb{C}$ è:

$$x(t) = X_0 e^{i\omega t}$$

$$\dot{x}(t) = i\omega \cdot e^{i\omega t} \cdot X_0$$

$$\ddot{x}(t) = -\omega^2 \cdot e^{i\omega t} \cdot X_0$$

$$\Rightarrow \begin{aligned} &[-M\omega^2 e^{i\omega t} + C \cdot i\omega e^{i\omega t} + K e^{i\omega t}] X_0 = F_0 \cdot e^{i\omega t} \\ &-M X_0 \omega^2 e^{i\omega t} + C i X_0 \omega e^{i\omega t} + K X_0 e^{i\omega t} = F_0 \cdot e^{i\omega t} \\ &[K + C \cdot i\omega - M\omega^2] X_0 = F_0 \end{aligned}$$

Dividendo per la massa M :

$$\left[\frac{K}{M} + i \frac{C\omega}{M} - \omega^2 \right] X_0 = \frac{F_0}{M}$$

$$[\omega_m^2 + i \cdot 2 \cdot \frac{C}{M} \omega_m - \omega^2] X_0 = \frac{F_0}{M}$$

$X_{\text{statico}}^{\text{statico}}$: spostamento statico, spost. che avrebbe il sistema se $\omega \rightarrow 0$ e lo cosinuoso diventasse uno scalino $\left| \frac{F_0}{K} \right|$

Si adimensionalizza il tutto dividendo per ω_m^2 :

$$\left[1 + i \cdot 2 \cdot \frac{C}{M} \frac{\omega}{\omega_m} - \left(\frac{\omega}{\omega_m} \right)^2 \right] X_0 = \frac{F_0}{M \cdot \omega_m^2} = \frac{F_0}{K} = X_{\text{statico}}$$

$$Q = \frac{X_0}{X_{\text{stat}}} = \frac{1}{1 - \left(\frac{\omega}{\omega_m} \right)^2 + i \cdot 2 \cdot \frac{C}{M} \frac{\omega}{\omega_m}}$$

, Q : fattore di amplificazione (o guadagno dinamico)
 $Q = Q |i\omega|$, con $Q \in \mathbb{C}$

È possibile trovare il guadagno Q espresso come:

$$Q(s) = \frac{X(s)}{F(s)}$$

, con $s = i\omega$

$X(s)$: spost. in uscita

$F(s)$: spost. in ingresso

s : variabile di Laplace, Q ottenuto dalla trasformata di Laplace.

→ appross. utilizzato nei controlli

In presenza di carichi molto piccoli è possibile ottenere risposte molto grandi nell'intorno di $\omega = 1$. Inoltre i sistemi hanno più frequenze proprie.

$$\lim_{\omega \rightarrow 0} \tan \varphi = 0^+, \text{ per } \varphi \rightarrow 0$$

per $f=0$ e $\omega \rightarrow 1$ si ha una forma indeterminata $0/0$.

$$\lim_{\omega \rightarrow \infty} \tan \varphi = 0^-, \text{ per } \varphi \rightarrow \pi$$

denominatore di $|Q|$

Si vuole trovare il massimo dell'ampiezza Q :

$$\frac{d}{d\omega} [(1 + \omega^2) + (2f\omega)^2] = 0$$

$$\frac{d}{d\omega} (1 + \omega^2 - 2\omega^2 + 4f^2\omega^2) = 4\omega^3 - 4\omega + 8f^2\omega = 2(1 - \omega^2)(-2\omega) + 4f^2 \cdot 2\omega = 0$$

$$\omega [4\omega^2 + (8f^2 - 4)] = 0, \text{ sol. } \omega = 0, \text{ soluzione non interessante}$$

$$\omega = \pm \sqrt{1 - 2f^2}$$

Le freq. hanno senso solo se sono positive: $\omega = \sqrt{1 - 2f^2}$, Risonanza

Si definisce la pulsazione di risonanza, quella che rende l'ampiezza massima

$$\omega_r \stackrel{\text{def.}}{=} \omega_0 \cdot \sqrt{1 - 2f^2}$$

Con smorzamenti bassi si hanno risposte più elevate. Per avere il fenomeno di amplificazione dinamica il valore di f deve essere:

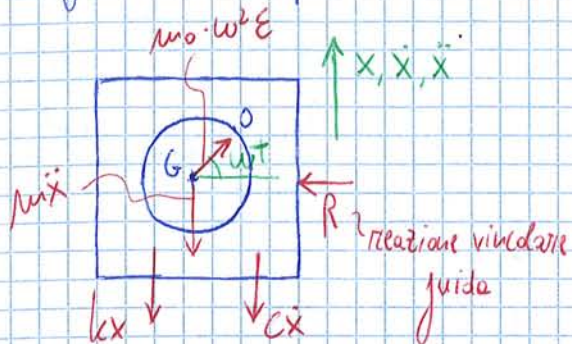
$$f \leq \frac{\sqrt{2}}{2} = 70,7\% \quad \text{per valori minori di } \frac{\sqrt{2}}{2} \text{ si ha assorbenza e l'andamento in Bode è monotono decrescente.}$$

$$\text{sol. particolare } X_p(t) = \operatorname{Re} [X_0 \cdot e^{j\omega t}] = \operatorname{Re} [|X_0| \cdot e^{-il} \cdot e^{j\omega t}] = |X_0| \cdot \cos(\omega t - l)$$

Si arriva allo stesso risultato applicando il metodo dei vettori rotanti ... = $|X_0| \cdot \cos(\omega t - l)$

ω_0 e ω_d descrivono il comportamento libero del sistema, mentre $\omega_0 \omega_l$ e ω_r il comportamento forzato.

Diagramma di corpo libero.



$\beta = 0$: con vincolo nullo la lavatrice si sposta anche nella direzione perp. a x, la risultante si converte tutta in forze d'inerzia.
($m\ddot{x}$ include il contributo di μ_0)

$$\begin{aligned} m\ddot{x} + c\dot{x} + kx &= \mu_0 \omega^2 E \sin \omega t = \dots \\ \dots &= \Im_m [\mu_0 \omega^2 E e^{i\omega t}] = \mu_0 \omega^2 E e^{i\omega t} \end{aligned}$$

Risposta del sistema: $x(t) = X_0 e^{i\omega t}$, $\dot{x}(t) = i\omega X_0 e^{i\omega t}$, $\ddot{x}(t) = -\omega^2 X_0 e^{i\omega t}$

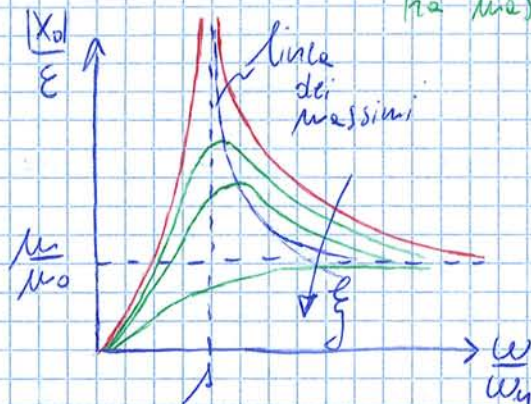
$$\Rightarrow (-m\omega^2 + j\omega c + k) \cdot X_0 e^{i\omega t} = \mu_0 \omega^2 E e^{i\omega t}, \text{ si procede ad linearizzando}$$

$$\frac{X_0}{E} = \frac{\mu_0 \omega^2}{k - m\omega^2 + j\omega c} = \frac{\mu_0}{m} \cdot \left(\frac{\omega}{\omega_n}\right)^2 \cdot \frac{1}{1 - \left(\frac{\omega}{\omega_n}\right)^2 + j \frac{2\zeta}{\omega_n}} = \frac{\mu_0 \cdot (\omega)^2}{m} \cdot Q(i\omega)$$

Si introduce il rapporto tra masse

Vale:

$$\begin{cases} \frac{X_0}{E} = \frac{\mu_0}{m} \cdot \left(\frac{\omega}{\omega_n}\right)^2 \cdot Q(i\omega) \\ \tan \varphi = \frac{2\zeta \frac{\omega}{\omega_n}}{1 - \left(\frac{\omega}{\omega_n}\right)^2} \end{cases}$$



Essendo presente ω^2 , si considera anche la risonanza: $\omega_{ris} = \sqrt{\frac{\omega_n}{1 - \zeta^2}}$, non richiesta

Nella progettazione di una lavatrice si considera la mobilità della carcassa e l'interfaccia col mondo esterno, che arrecano un disturbo (rumore prodotto), per valutare ciò occorre calcolare le forze trasmesse a terra, trovare il vincolo F_v e la forza applicata F_o , detta forza di riferimento; si parla di trasmissibilità.

Trasmissibilità: ciò che viene trasmesso tra ingresso e uscita (funzione di trasformamento).
Interazione con i vicini.

Definizione classica: trasmissibilità:

$$T = \frac{|v(t)|}{|f_0(t)|} = \frac{F_v}{F_o}, \text{ con } F_o = \text{costante}$$

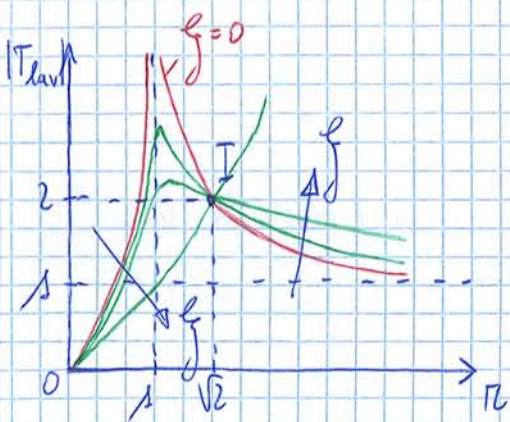
Da notare che: $|T_{\text{lav}}(\sqrt{2})| = 2$ $\forall \zeta$, è indipendente dallo smorzamento, quindi si definisce "punto d'invarianza", il punto attraverso cui passano tutte le curve pur $\zeta = \sqrt{2}$ ($I = (\sqrt{2}, 2)$ nel grafico).

Per costruire il grafico $T_{\text{lav}} = T_{\text{lav}}(\zeta)$ bisogna cominciare da alcuni punti notevoli:

$$|T_{\text{lav}}(0)| = 0 \quad , \text{ punto di partenza delle curve}$$

$$\lim_{\zeta \rightarrow \infty} |T_{\text{lav}}| = \infty \quad , \text{ per smorzamento } \zeta > 0 \text{ le curve crescono fino ad infinito.}$$

$$\lim_{\zeta \downarrow 0} |T_{\text{lav}}| = 1 \quad \text{e} \quad \lim_{\zeta \rightarrow 0} |T| = \infty \quad , \text{ per smorzamento nullo } \zeta = 0$$



Se $f = 0$ la forza tende a una costante, quindi non è sempre conveniente aumentare lo smorzamento, $|T_{\text{lav}}$ aumenta all'aumentare di ζ . Per ottenere grandi vel. angolari si fa in modo che ζ sia grande e si modifica $\omega_n = \frac{1}{\sqrt{\zeta}}$ riducendola, nella pratica si aumenta la massa delle carcasse con un blocco di cemento.

Tuttavia lo smorzamento ζ non deve essere troppo piccolo, altrimenti in risonanza si hanno grandi spostamenti del blocco. Nel grafico le curve descrivono il comportamento a regime e quindi si presentano ittadette per gestire il transitorio.

- Risposta all'impulso (alla forzante generica)

Per calcolare la forzante generica è necessario ricevere la risposta all'impulso (IRF: impulse response function, litto) in modo da poter poi calcolare l'integrale di convoluzione e, quindi, la forzante generica.

Impulso: forzante che dura un lasso di tempo breve rispetto al periodo di oscillazione, con una grandezza che, in un istante infinitesimo, assume un valore tendente a infinito

$$\frac{f}{\varepsilon} \uparrow \quad \text{Area} = \frac{1}{\varepsilon} \cdot \left[\left(t_0 + \frac{\varepsilon}{2} \right) - \left(t_0 - \frac{\varepsilon}{2} \right) \right] = 1 \Rightarrow \text{impulso unitario}$$

per un impulso $\varepsilon \rightarrow 0 \Rightarrow f \rightarrow \infty$

Martellata (caso reale) \rightarrow il comportamento si avvicina all'impulso considerato.

$$\lim_{\varepsilon \rightarrow 0} [x(0^+) - x(0^-)] + \lim_{\varepsilon \rightarrow 0} \left[\int_{-\frac{\varepsilon}{2}}^{\frac{\varepsilon}{2}} c x(t) dt + \int_{-\frac{\varepsilon}{2}}^{\frac{\varepsilon}{2}} x(t) dt dx \right] = 0$$

per ipotesi $\Rightarrow 0$

(potendo $x(t)$ limitata, integrando su un intervallo infinitesimo, questa restituisce il valore zero). Di conseguenza si ha:

$$\Rightarrow x(0^+) = 0, \text{ I}^{\text{a}} \text{ condizione iniziale}$$

Si vuole ottenere la seconda condizione

$$\lim_{\varepsilon \rightarrow 0} \int_{-\frac{\varepsilon}{2}}^{\frac{\varepsilon}{2}} \dot{x}(t) dt = \lim_{\varepsilon \rightarrow 0} [x(0^+) - x(0^-)] + c [x(0^+) - x(0^-)] + \lim_{\varepsilon \rightarrow 0} h \int_{-\frac{\varepsilon}{2}}^{\frac{\varepsilon}{2}} x(\tau) d\tau = 1$$

$= 0$ per ipotesi $\Rightarrow 0$

$$\Rightarrow \dot{x}(0^+) = \frac{1}{m}, \text{ II}^{\text{a}} \text{ condizione iniziale}$$

Si cerca la risposta del sistema

$$x(t) = e^{-f_{w_0} t} (a \cos w_0 t + b \sin w_0 t),$$

$$\dot{x}(t) = -f_{w_0} e^{-f_{w_0} t} (a \cos w_0 t + b \sin w_0 t) + e^{-f_{w_0} t} (-w_0 a \sin w_0 t + w_0 b \cos w_0 t)$$

Si applicano le cond. iniziali: $\begin{cases} x(0) = a = 0 \\ \dot{x}(0) = -f_{w_0} a + w_0 b = \frac{1}{m} \end{cases}$

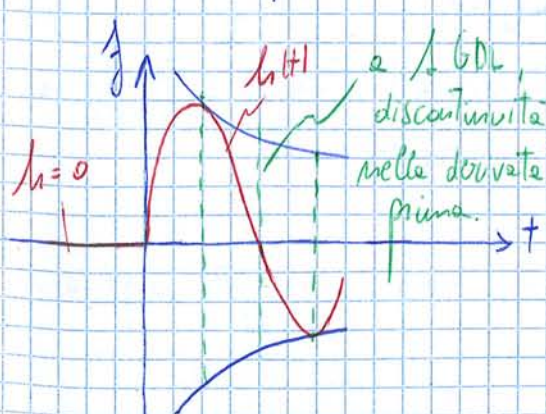
(IRF)

$$\Rightarrow \begin{cases} a = 0 \\ b = \frac{1}{m w_0} \end{cases}$$

Risposta all'impulso unitario per un sistema sottosorizzato vale:

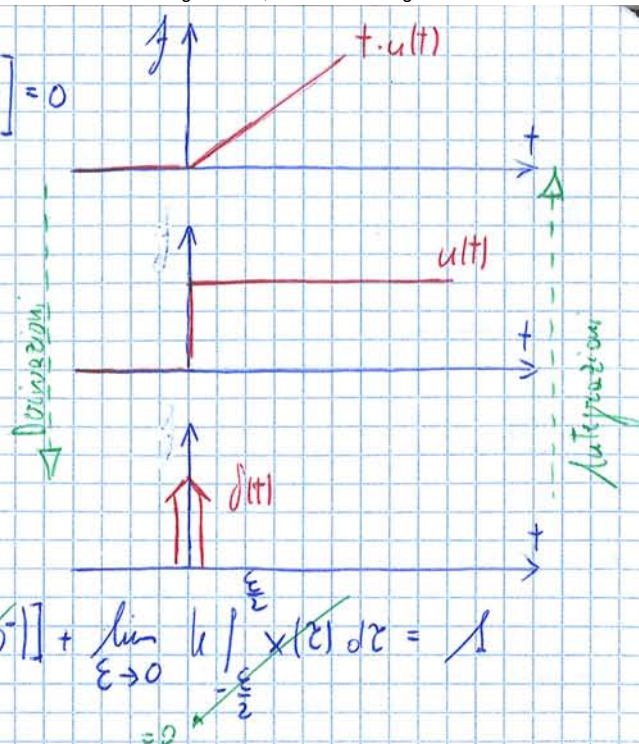
$$x(t) = h(t) = \frac{1}{m w_0} \cdot e^{-f_{w_0} t} \cdot \sin w_0 t \cdot u(t)$$

, per $t < 0$ la risposta è nulla



Per calcolare la risposta alla forza genetica bisogna prima conoscere questa appena determinata.

Le situazioni viste finora sono casi particolari della risposta di un sistema meccanico sollecitato da una forza genetica.



$$x(t) = \int_{-\infty}^{+\infty} f(\tau) \cdot h(t-\tau) \cdot d\tau$$

, "integrale di convoluzione" (o di Duhamel)

Per calcolare la risposta in qualunque istante di tempo t per una forzante generica, questo è lo strumento da utilizzare, purché siano nulle le condizioni iniziali e sia nota la risposta all'impulso $h(t)$.

γ è una variabile muta, si procede con un cambio di variabili: $t-\gamma = \lambda$
 $d\gamma = -d\lambda$

Estratti d'integrazione

$$\gamma = 0 \Rightarrow \lambda = t$$

$$\gamma = t \Rightarrow \lambda = 0$$

$$\Rightarrow x(t) = - \int_{-\infty}^0 f(t-\lambda) \cdot h(\lambda) \cdot d\lambda = \int_0^t f(t-\lambda) \cdot h(\lambda) \cdot d\lambda$$

Aut. di convoluzione

$$x(t) = f(t) * h(t)$$

simbolo di convoluzione

* con intervallo d'integrazione fra
 $(-\infty, +\infty)$

Altra forma: $x(t) = \int_{-\infty}^{+\infty} f(\tau) h(t-\tau) d\tau$, non imp. nel corso

$$x(w) = F(w) \cdot H(w)$$

trasformate di Fourier

Si confronta con l'integrale generale ottenendo

$$\text{la seguente proprietà: } \lambda \rightarrow \gamma \Rightarrow x(t) = \int_0^t f(t-\lambda) \cdot h(\lambda) d\lambda = \int_0^t f(t-\gamma) \cdot h(\gamma) d\gamma$$

Viene verificata l'ugualanza spezzando l'intervallo di integrazione in tre contributi:

$$x(t) = \int_0^t f(t-\lambda) \cdot h(t-\lambda) d\lambda = \int_{-\infty}^0 f(\tau) \cdot h(t-\tau) d\tau + \int_0^t f(\tau) \cdot h(t-\tau) d\tau + \int_t^{+\infty} f(\tau) \cdot h(t-\tau) d\tau$$

$= 0$, per $\tau < 0$

$= 0$, per $\tau > t$

(proprietà additiva del dominio)

$$\int_{-\infty}^{+\infty} f(\tau) \cdot h(t-\tau) d\tau = 0 \Rightarrow \tau < 0, f(\tau) = 0 \quad \text{la forzante è nulla prima di un certo istante}$$

$$\int_{-\infty}^{+\infty} f(\tau) \cdot h(t-\tau) d\tau = 0 \Rightarrow h(t-\tau) = 0 \quad \text{perché } \tau > t, \text{ il sistema è casuale e non può rispondere prima che dopo la forzante quindi l'integrale risulta zero.}$$

L'ipotesi fondamentale non può essere rimossa, al contrario le seconde ipotesi può essere eliminata: $x(0) \neq x_0 \neq 0$, ottenendo una risposta pari a:

Per comodità di extrapolazione si riscrive in forma matriciale: vettore colonne {...}

$$\underbrace{\begin{bmatrix} m_1 & 0 \\ 0 & m_2 \end{bmatrix}}_{[m]} \underbrace{\begin{bmatrix} \ddot{x}_1 \\ \ddot{x}_2 \end{bmatrix}}_{[\ddot{x}]} + \underbrace{\begin{bmatrix} c_1+c_2 & -c_2 \\ -c_2 & c_2+c_3 \end{bmatrix}}_{[c]} \underbrace{\begin{bmatrix} \dot{x}_1 \\ \dot{x}_2 \end{bmatrix}}_{[\dot{x}]} + \underbrace{\begin{bmatrix} k_1+k_2 & -k_2 \\ -k_2 & k_2+k_3 \end{bmatrix}}_{[k]} \underbrace{\begin{bmatrix} x_1 \\ x_2 \end{bmatrix}}_{[x]} = \underbrace{\begin{bmatrix} f_1 \\ f_2 \end{bmatrix}}_{[f]}$$

forma moto
matrice [...]

$$[m] \{ \ddot{x} \} + [c] \{ \dot{x} \} + [k] \{ x \} = \{ f \}, \text{ MDOF}$$

proprietà necessarie

$[m]$ matrice delle masse (reale, simmetrica, definita positiva)

$[c]$ matrice di smorzamento viscoso (reale, simmetrica, definita/semidefinita positiva)

$[k]$ matrice di rigidezza (reale, simmetrica, definita/semidefinita positiva)

vettore delle coordinate generalizzate $\{x\} = [x_1 \ x_2]^T$

vettore delle forzanti $\{f\} = [f_1 \ f_2]^T$

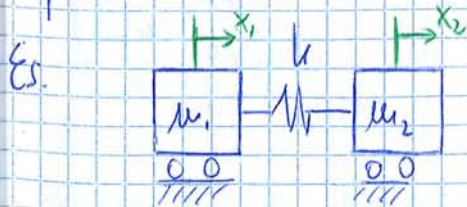
Criterio di Sylvester: una matrice reale e simmetrica è definita positiva se, e solo se, tutti i determinanti dei minori principali siano maggiori di 0.

Considerando una matrice $A_{n \times n}$, essa è: definita positiva se $\forall \{x\} \in \mathbb{R}^n \setminus \{0\}$

$$\text{minore di ordine } 1: d_1 = 2 > 0 \quad \text{minore di ordine 2: } \{x\}^T [A] \cdot \{x\} > 0$$

$$\left. \begin{array}{c} \text{minore di ordine } 2: \\ \boxed{2} \quad \boxed{2+2} \\ \boxed{2} \quad \boxed{5+0} \\ \hline \boxed{2} \quad \boxed{5-2} \\ \boxed{1} \quad \boxed{-2+1} \end{array} \right\} \text{minore di ordine 3: } d_2 = 2 \cdot 5 - 2 \cdot 2 = 6 > 0 \quad \text{semidefinita positiva se } \forall \{x\} \in \mathbb{R}^n \setminus \{0\} \quad \{x\}^T [A] \cdot \{x\} \geq 0$$

Le matrici studiate sono sempre reali, simmetriche | utilizzando le eq. di Lagrange, definite positive nel caso.



Sistema a 2 DOF, la matrice di rigidezza è:

$$[k] = \begin{bmatrix} k & -k \\ -k & k \end{bmatrix}, \det[k] = 0 \Rightarrow \text{è semidefinita positiva}$$

Lo spostamento non porta a una variazione di energia potenziale nulla. L'autovalore (pulsazione propria) è nullo $\omega_1^2 = 0$

Energia potenziale $U = \frac{1}{2} \{x\}^T [k] \{x\} = 0$

$$\underline{j(t)} = - \frac{\{x_0\}^\top [k] \{x_0\}}{\{x_0\}^\top [m] \{x_0\}} = -\omega^2 \leq 0 \quad , \text{ si ricava la pulsazione propria}$$

$$-\omega^2 \leq 0 \Rightarrow \omega^2 \geq 0$$

$$\Rightarrow j(t) + \omega^2 j(t) = 0 \quad , \text{ sol. sincrona } j(t) = \cos(\omega t + \theta) \quad \text{può essere espressa come}$$

$$\underline{x(t)} = \{x_0\} \cos(\omega t + \theta)$$

2) Si sostituisce la sol. sincrona nell'eq. del moto

$$[m] \{x_0\} \cdot (-\omega^2) \cdot \cos(\omega t + \theta) + [k] \cdot \{x_0\} \cos(\omega t + \theta) = \{0\} \quad , \forall t \quad \text{Eigen Value Problem}$$

$$| [k] - \omega^2 [m] | \{x_0\} = \{0\} \quad , \text{ problema agli autovettori EVP (autoproblema)}$$

• Si procede al calcolo degli autovettori ω_n^2 : $\det([k] - \omega^2 [m]) = 0$, con $\{x_0\} \neq 0$

$$a_m \omega^{2m} + a_{m-1} \omega^{2m-2} + \dots + a_1 \omega^2 + a_0 = 0 \quad , \text{ polinomio caratteristico}$$

$\omega_1^2, \omega_2^2, \dots, \omega_n^2$ Autovetori (zeri) sempre ≥ 0 → le cui soluzioni sono
 $\omega_1, \omega_2, \dots, \omega_n$ Pulsazioni proprie del sistema

Si hanno le stesse soluzioni dei sistemi SDOF, solo che si ha la presenza di molteplici pulsazioni proprie.

• Si calcolano gli autovettori: ottenuti sostituendo un autovettore per volta e ricavando $j(t) \{x_0\}$.

$$([k] - \omega_n^2 [m]) \{x_0\} = \{0\} \rightarrow ([k] - \omega_n^2 [m]) \{\Psi_n\} = 0 \quad , \text{ soluzione:}$$

$$\{\Psi_1\}, \{\Psi_2\}, \dots, \{\Psi_n\} \dots \text{Autovettori della amplice}$$

L'insieme di tutti gli autovettori del sistema si definisce "forma modale", forma con cui si può muovere il sistema, in cui gli autovettori sono inseriti a meno di una costante multiplicative.

Modo proprio relativo: $\omega_n^2, \{\Psi_n\} \rightarrow$ parametri modali

$$\text{Es. } \{\Psi_1\} = [1 \ 2 \ 3 \ 4]^\top \quad \{\Psi_1'\} = [-10 \ -20 \ -30 \ -40]^\top$$

Ψ_1, Ψ_1' rappresentano spostamenti identici.

Risolti l'autoproblema, si ottengono le seguenti matrici:

$$(\omega_r^2 - \omega_s^2) \cdot \{\psi_s\}^\top [m] \{\psi_r\} = 0 \quad , \quad (1) - (2)^\top \quad \text{eq. fondamentale}$$

Tale eq. ha due possibili soluzioni:

- Se $\omega_r \neq \omega_s$, si hanno due modi con autovalori diversi $\Rightarrow \{\psi_s\}^\top [m] \{\psi_r\} = 0 \quad (n-1)$
gli autovettori sono n -ortogonalⁱ
- Se $\omega_r = \omega_s$, gli autovalori si suppongono distinti non coincidenti con molteplicità $\lambda \neq 1$ $\Rightarrow \{\psi_r\}^\top [m] \{\psi_r\} = m_r > 0$
massa modale n-esima definita positiva

Analogamente per la parte trasversata a $[k]$ ($\{\psi_s\}^\top [k] \{\psi_r\} = 0$):

- Se $\omega_r \neq \omega_s$, allora $\{\psi_s\}^\top [k] \{\psi_r\} = 0 \quad (n-1)$ *V-ortogonalità*
- Se $\omega_r = \omega_s$, allora $\{\psi_r\}^\top [k] \{\psi_r\} = k_r = M_r \omega_r^2 \geq 0$

La massa modale è la massa che ingloba in sé l'insieme degli effetti dell'intero sistema meccanico, la rigidità globale ingloba invece l'intero fenomeno elastico.

Athaverso la matrice modale si può riassumere:

$$[\Psi]^\top [m] [\Psi] = \begin{bmatrix} m_1 \\ m_2 \\ \vdots \\ m_n \end{bmatrix} = \text{diag}(m_r) \quad \text{"Matrice delle masse modali"}$$

$$[\Psi]^\top [k] [\Psi] = \begin{bmatrix} k_1 \\ k_2 \\ \vdots \\ k_n \end{bmatrix} = \text{diag}(k_r) \quad \text{"Matrice delle rigidità modali"}$$

- Teorema di Espansione \rightarrow gli autovettori sono linearmente indipendenti L.I., dunque formano una base di \mathbb{R}^n (Enunciato)

È possibile esprimere una qualsiasi configurazione assente da un sistema MDOF come combinazione lineare degli autovettori! Si procede con una dimostrazione per assurdo supponendo che l'enunciato sia falso e gli autovettori sono linearmente dipendenti, considerando una combinazione lineare di autovettori nulle:

$$c_1 \{\psi_1\} + c_2 \{\psi_2\} + \dots + c_n \{\psi_n\} = \{0\} = \sum_{r=1}^n c_r \{\psi_r\}$$

Per avere la dipendenza lineare i c_r non sono tutti nulli, quindi si procede premoltiplicando il vettore nula $\{\psi_s\}^\top [m]$:

$$\{\psi_s\}^\top [m] \sum_{r=1}^n c_r \{\psi_r\} = \{0\}$$

"ammazza-autovettori"

$$[\Psi] = \begin{bmatrix} 1 & 3 & 1 \\ 1 & 1 & -1 \\ 1 & -1 & 1 \end{bmatrix} \Rightarrow [\Psi]^T [m] [\Psi] = \begin{bmatrix} 4 & 4 & 0 \\ 4 & 12 & 0 \\ 0 & 0 & 4 \end{bmatrix}$$

↑ i primi due autovettori non sono M-ortogonalii fra loro \Rightarrow non si ha matrice diagonale.

Modificando il secondo autovettore: $[\tilde{\Psi}] = \begin{bmatrix} 1 & -1 & 1 \\ 1 & 0 & -1 \\ 1 & -1 & 1 \end{bmatrix} \Rightarrow [\tilde{\Psi}]^T [m] [\tilde{\Psi}] = \begin{bmatrix} 4 & 0 & 0 \\ 0 & 2 & 0 \\ 0 & 0 & 4 \end{bmatrix}$

\Rightarrow il Teorema dell'espansione è sconsigliato da utilizzare per autovettori ripetuti, mentre per un sistema "digenere" (caso $[\Psi]$) risultava ancora valido.

- Disaccoppiamento delle equazioni.

Si parte dall'eq. del moto di un sistema vibrante non smorzato e non forzato (libero)

$$[m]\ddot{x} + [k]\{x\} = \{0\}$$

Analisi modale

$$\omega_n^2 = \frac{k_n}{m_n}$$

Risolvendo l'EVP si ottiene $[\Psi]$, $[m]$, $[k]$, $[k_n]$, $[\omega_n^2]$ e si applica la trasformazione modale diretta (TMD), cioè una trasformazione di coordinate:

$$\{x(t)\} = [\Psi] \{y(t)\}, \quad \text{con } [\Psi] \in \mathbb{R}^{n \times n}$$

non dipendente da t vettore coordinate modali

$$\{\ddot{x}(t)\} = [\Psi] \{\ddot{y}(t)\}$$

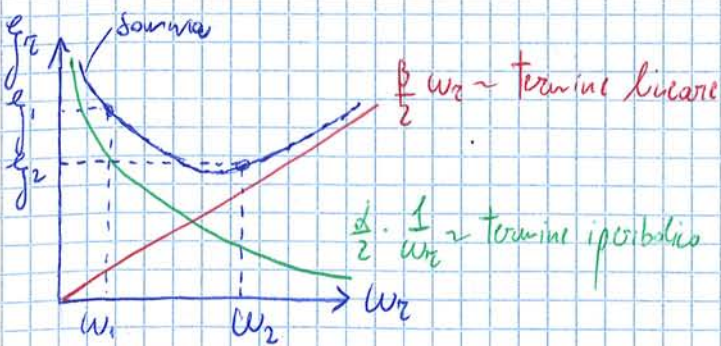
$$\Rightarrow [m] \{y\} \{\ddot{y}(t)\} + [k] \{y\} \{\dot{y}(t)\} = \{0\}$$

$$\underbrace{[\Psi]^T [m] [\Psi]}_{\text{matrice delle masse}} \underbrace{\{\ddot{y}(t)\}}_{\text{matrice di rig. giac.}} + \underbrace{[\Psi]^T [k] [\Psi]}_{\text{matrice di rig. giac.}} \{\dot{y}(t)\} = \{0\}$$

$$[m_n] \{\ddot{y}_n\} + [k_n] \{y_n\} = \{0\}, \quad \text{si ottengono n eq. SDOF disaccoppiate}$$

$$\Rightarrow m_n \ddot{y}_n(t) + k_n y_n(t) = 0, \quad n=1, 2, \dots, n$$

y_n sono le coordinate modali stette anche principali o normali, con la quale si discopre i vari modi possibili.



Siccome i sistemi considerati sono discreti è sufficiente la determinazione solamente di alcuni punti.

[Le ipotesi di $g_r = \text{cost}$. non sono le stesse]

- Risposta libera suonata \rightarrow si scrive l'eq. del moto nelle coordinate modali n-asse, supponendo che ciascun modo sia sotto suonato $g_r < 1$

$$\eta_r(t) = (A_r \cos w_{dr} t + B_r \sin w_{dr} t) e^{-g_r w_r t}, \text{ con } w_{dr} = w_r \sqrt{1 - \frac{g_r^2}{r}}$$

Si hanno a disposizione le condizioni iniziali $\{x(0)\} = X_0$ $\{\dot{x}(0)\} = V_0$
 $X_0, V_0 \in \mathbb{R}$

Per il calcolo delle costanti A_r, B_r si può procedere in due modi differenti:

I^a strada: $[\Psi]^{-1}$, $\{x(t)\} = [\Psi] \{\eta(t)\} \quad \forall t$ TMD \rightarrow si vuole sfruttare le m-1

$$\{\dot{x}(t)\} = [\Psi] \{\dot{\eta}(t)\}$$

$$\Rightarrow \{x(0)\} = [\Psi] \{\eta(0)\} = \{X_0\} \quad \{\dot{x}(0)\} = [\Psi] \{\dot{\eta}(0)\} = \{V_0\}$$

$$\{\eta(0)\} = [\Psi]^{-1} \{X_0\} \quad \{\dot{\eta}(0)\} = [\Psi]^{-1} \{V_0\}$$

Per la validità dell'operazione gli autovalori devono essere L.I., non ci è bisogno di ipotizzare $\det[\Psi] \neq 0$. Il problema principale è il calcolo di $[\Psi]^{-1}$ che diventa complicata con più DOF e bisogna calcolare tutti i modi.

II^a strada: "annulla-avvettori" $\sim \{\Psi_s\}^T [w] \dots$

$$\{x(t)\} = [\Psi] \{\eta(t)\} = \sum_{n=1}^m \{\Psi_n\} \eta_n(t)$$

TMD

Teorema dell'espansione

$$\eta_n = w_{dr} (-A_n \sin w_{dr} t + B_n \cos w_{dr} t) e^{-g_r w_r t} - g_r w_r e^{-g_r w_r t} (A_n \cos w_{dr} t + B_n \sin w_{dr} t)$$

Pur $t=0$: $\eta_n(0) = A_n$, $\dot{\eta}_n(0) = B_n w_{dr} - g_r w_r A_n$

Ciascuna delle eq. con $n = 1, 2, \dots, m$ può essere risolta utilizzando l'integrale di convoluzione, dopo averle risolte si fa la sintesi modale TMD e si applica il Teo. d'espans.

$$\eta_n(t) = \int_0^t Q_n \mu_n(t-\tau) d\tau + \underline{\text{R.C.I.}} \quad \text{risposta alle condizioni iniziali}$$

$$\{x(t)\} = [\Psi] \{\eta(t)\} = \sum_{n=1}^m \{\psi_n\} \eta_n(t)$$

somma

- Risposta alla forzante armonica \rightarrow sistema MDOF soggetto a forzante armonica

$$[m]\{\ddot{x}\} + [c]\{\dot{x}\} + [k]\{x\} = \{F_0\} e^{i\omega t} \quad \text{con } \{F_0\} \in \mathbb{R}^m, \text{ eq del moto}$$

La notazione in forme complesse della forzante comprende sia i seni, sia i coseni. L'operazione si può fare in ambito lineare, il battimento si suppone estinto e quindi si considera nullo.

$$\{x(t)\} = \{x_0\} e^{i\omega t}, \quad \{\dot{x}\} = i\omega \{x_0\} e^{i\omega t}, \quad \{\ddot{x}\} = -\omega^2 \{x_0\} e^{i\omega t}$$

con $\{x_0\} \in \mathbb{C}^m$ le singole masse vengono agitate alla stessa frequenza, ma con un certo sfasamento

$$\Rightarrow [k] - \omega^2 [m] + i\omega [c] \{x_0\} e^{i\omega t} = \{F_0\} e^{i\omega t}$$

$$[k] - \omega^2 [m] + i\omega [c] \{x_0\} = \{F_0\} \quad , \text{ la variabile indipendente diventa la freq. d'eccitazione } \omega.$$

Esistono due strade per il calcolo della risposta alla forzante armonica, escludendo:
1. integrale di convoluzione (soluzione scomoda).

2. strada \rightarrow inversione della matrice di rigidità dinamica. $[k_{\text{din}}(\omega)]^{-1}$

$$[k_{\text{din}}(\omega)] = [k] - \omega^2 [m] + i\omega [c]$$

$$\{x_0\} = [k_{\text{din}}(\omega)]^{-1} \{F_0\} \quad , \text{ con } X_0 = X_0(\omega) \text{ vettore delle ampiezze}$$

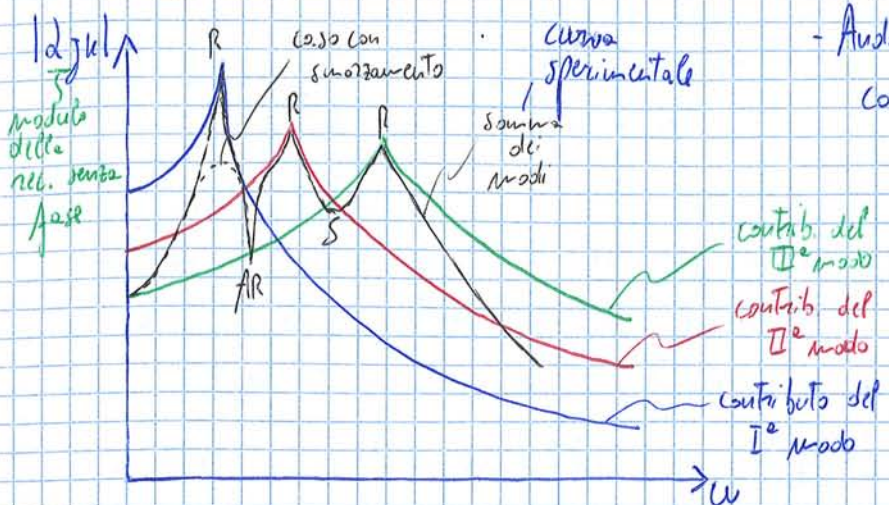
$$[k_{\text{din}}(\omega)]^{-1} = [\alpha(\omega)] \quad \text{"Matrice di ricettanza"}$$

$$\Rightarrow \{x_0\} = [\alpha(\omega)] \{F_0\}$$

$$[\alpha(\omega)] = \frac{\{x_0\}}{\{F_0\}} \quad \begin{matrix} \text{significato} \\ \text{fisico} \end{matrix}$$

La matrice di ricettanza in alcuni punti può essere singolare a causa delle risonanze. Se è semi-definita positiva, allora k_{din} non è invertibile.

Se ciò non è vero, allora il sistema risulta non lineare.



- Andamento qualitativo della receptanza con FRF (funzione di risposta in freq.)

Nella combinazione dei 3 modi si possono ottenere diversi fenomeni. Si vuole ottenere il modulo generico della receptanza

I punti di massimo R nella somma dei modi rappresentano i punti di risonanza, si possono avere delle regioni sovr-risonante in cui non si raggiunge il picco R ma si ha una zona di raccordo.

Nel caso di picchi minimi invertiti, si ha AR anti-risonanza, accade quando i modi sono molto vicini con segno opposto e la loro somma è circa nulla, il contributo di pari entità fa nascere il picco minimo e si va alla freq. circa nulla nel grafico, in realtà in presenza di smorzamento essa è maggiore di zero con raccordo. Fisicamente si ha una situazione di AR quando si applica una forza su m_1 e la massa m_2 rimane ferma, quindi si ha una freq. in cui 1 DOF si annulla in assenza di smorzamento.

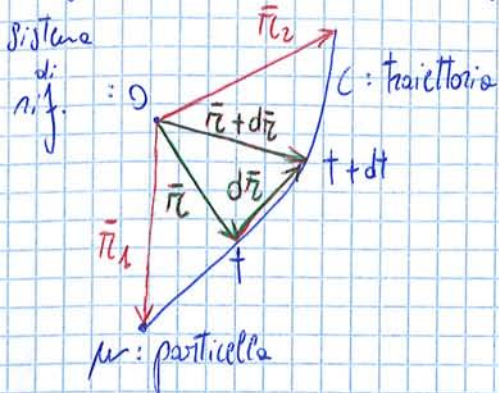
Se con la somma dei modi si trova un punto di minimo con freq. maggiore di zero, si ha un punto di sella S e la massa m_2 si muove poco, rispetto alla massa m_1 , la distinzione tra AR e S si accentua aumentando lo smorzamento.

Il numero di DOF è pari al numero di freq. di risonanza R. Il modo è una quantità stabilità del sistema e non dalle forzanti.

Shack (eccitatore elettrodinamico) / Stinger → pezzo d'acciaio sottili che sollecita il pezzo in 1 DOF trazione o compressione.

- MECCANICA ANALITICA : al contrario della meccanica vettoriale basata sull'utilizzo di forze e momenti sul diagramma di corpo libero, essa si basa su quantità scalari (lavoro, energia) introdotte da Leibniz.

- Definizione di lavoro e di energia : • "Lavoro"



Si considera lo spostamento infinitesimo $d\vec{r}$, da t a $t+dt$, e si vuole calcolare il lavoro compiuto dalle forze \vec{F} :

$$dW = \vec{F} \cdot d\vec{r}$$

corretzione del differenziale, che non è usato, solamente infinitesimo.

$$\vec{F} = m \cdot \vec{a} = m \cdot \vec{v}$$

\vec{F} è la risultante delle forze applicate alla massa, il lavoro si può calcolare come

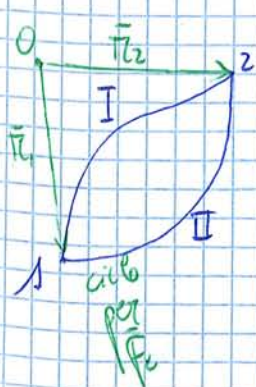
$$\overline{dW} = \vec{F} \cdot d\vec{r} = m \cdot \frac{d\vec{r}}{dt} d\vec{r} = m \cdot \frac{d\vec{r}}{dt} \cdot \vec{r} dt = d\left(\frac{1}{2} m \vec{r} \vec{v}\right) = dT$$

T : en. cinetica del corpo m

Al lavoro della risultante delle forze è pari alla variazione di energia cinetica, cioè è il Teorema dell'energia cinetica, o forze vive.

$$\int_{\vec{r}_1}^{\vec{r}_2} dW = \int_{\vec{r}_1}^{\vec{r}_2} dT = T_2 - T_1 = \Delta T$$

In generale il lavoro dipende dal percorso, se non dipende si hanno forze conservative \vec{F}_c , e il lavoro compiuto da \vec{F}_c su un ciclo chiuso è nullo.



$$\left| \int_{\vec{r}_1}^{\vec{r}_2} \vec{F}_c d\vec{r} \right|_I = \left| \int_{\vec{r}_1}^{\vec{r}_2} \vec{F}_c d\vec{r} \right|_{II}$$

, valido se \vec{F}_c conservativa

$$\left(\int_{\vec{r}_1}^{\vec{r}_2} \vec{F}_c d\vec{r} \right)_I - \left(\int_{\vec{r}_1}^{\vec{r}_2} \vec{F}_c d\vec{r} \right)_{II} = 0 \Rightarrow \left| \int_{\vec{r}_1}^{\vec{r}_2} \vec{F}_c d\vec{r} \right|_I + \left| \int_{\vec{r}_2}^{\vec{r}_1} \vec{F}_c d\vec{r} \right|_{II} = 0$$

$$\int \vec{F}_c d\vec{r} = 0 \quad , \quad \vec{F}_c \text{ forza conservativa}$$

\bar{F} è definito dal fatto che si vogliono calcolare gli spostamenti dalla configurazione indefinita. La forza esercitata dalla molla \bar{F}_m si oppone a quelle esterne.

$$\bar{F}_m \leftarrow \rightarrow \bar{F}$$

$$\bar{F}_m = -k \cdot x$$

$$\bar{F}_m = -k \cdot x \cdot \hat{i}$$

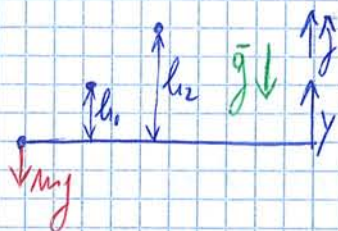
Si vuole calcolare il lavoro della forza conservativa:

$$\int_{\bar{x}_1}^{\bar{x}_2} \bar{F}_m \cdot d\bar{x} = \int_{\bar{x}_1}^{\bar{x}_2} (-kx) dx = \int_{\bar{x}_1}^{\bar{x}_{rif}} (-kx) dx - \int_{\bar{x}_{rif}}^{\bar{x}_2} (-kx) dx = \int_{\bar{x}_1}^{\bar{x}_{rif}} (-kx) dx + \int_{\bar{x}_{rif}}^{\bar{x}_2} (-kx) dx = \left[-\frac{1}{2} kx^2 \right]_{\bar{x}_1}^{\bar{x}_2} =$$

$$= -\frac{1}{2} k \bar{x}_2^2 + \frac{1}{2} k \bar{x}_1^2 = -\Delta V$$

, variazione dell'en. pot. elastica della molla non dipendente dalle x_{rif} ma dalle posizioni \bar{x}_1 e \bar{x}_2 .

Esempio 2 - Forza peso $m\bar{g} = \bar{F}_p$, forza conservativa che può essere accumulata per ottenere lavoro



$$\begin{aligned} \bar{x} &= y \cdot \hat{j} & \bar{F}_p &= -m \cdot g \cdot \hat{j} \\ \int_{h_1}^{h_2} \bar{F}_p \cdot d\bar{x} &= \int_{h_1}^{h_2} (-mg \hat{j}) dy = \int_{h_1}^0 (-mg \hat{j}) dy + \int_0^{h_2} (-mg \hat{j}) dy = \\ &= \int_{h_1}^0 (-mg \hat{j}) dy - \int_{h_2}^0 (-mg \hat{j}) dy = V_1 - V_2 = -\Delta V \end{aligned}$$

$$-\Delta V = mg h_1 - mg h_2$$

, variazione di un. pot. gravitazionale, con livello 0 arbitrario

Bisogna porre attenzione ai segni:

$$V = mg h \quad \begin{matrix} \uparrow \hat{j} \\ \downarrow \hat{j} \\ \uparrow \hat{y} \end{matrix}$$

$$V = -mg h \quad \begin{matrix} \uparrow \hat{j} \\ \downarrow \hat{j} \\ \uparrow \hat{y} \end{matrix}$$

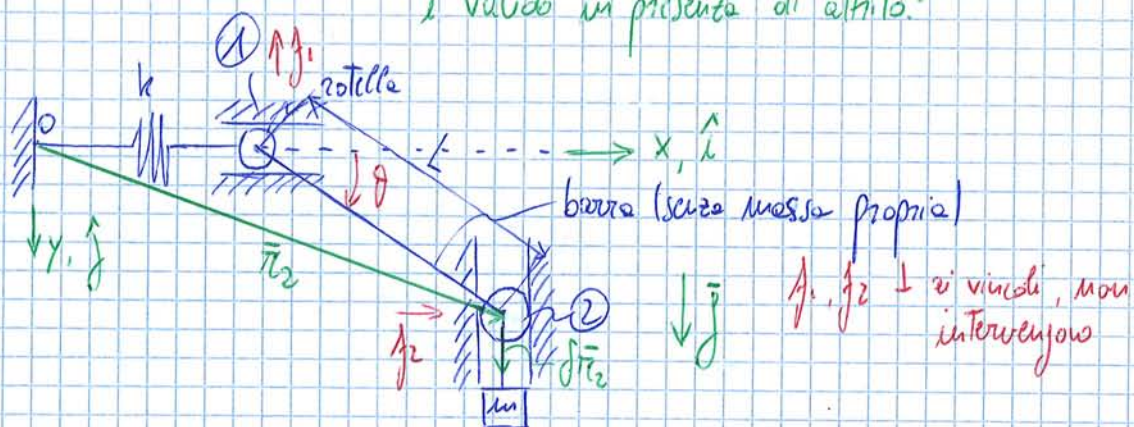
In statica non c'è un moto effettivo, il sistema è in equilibrio e non si tiene conto delle forze d'inerzia. Si assume il lavoro virtuale come:

$$\sum_{i=1}^n \bar{F}_i \delta \bar{x}_i + \sum_{i=1}^n \bar{f}_i \delta \bar{x}_i = 0$$

Gli spostamenti virtuali sono detti reversibili, ciò significa che in presenza di vincoli fissi (senza attrito) le reaz. vincolari sono ortogonali agli spostamenti virtuali e quindi rispettano le condizioni di vincolo, con lavoro virtuale nullo di tutte le forze attive (interne + esterne) per ogni spostamento virtuale, è una condizione necessaria e sufficiente.

$$\sum_{i=1}^n \bar{F}_i \delta \bar{x}_i = 0 \quad \text{PLV (statico), non c'è necessità di calcolare } \bar{f}_i \text{ ma ciò non è valido in presenza di attrito.}$$

Esempio 2.



Due rotelle ①, ② scorrono su due guide prive di attrito con l'accelerazione di gravità \bar{g} . Si vogliono determinare le posizioni di equilibrio con PLV.

Se $\theta = 0$ allora la molla k è indeformata. Si calcolano spostamenti e forze.

$$\begin{cases} \bar{x}_1 = x \cdot \hat{i} \\ \bar{x}_2 = y \cdot \hat{j} + L \cdot \hat{i} \end{cases}$$

$$\Rightarrow \begin{cases} \bar{F}_1 = -k \cdot x \cdot \hat{i} \\ \bar{F}_2 = m \cdot g \cdot \hat{j} \end{cases}$$

$$\begin{cases} \delta \bar{x}_1 = \delta x \cdot \hat{i} \\ \delta \bar{x}_2 = \delta y \cdot \hat{j} \end{cases}$$

Forza costante
si può eliminare
 $m \cdot \delta \bar{x}_2$

$$\text{PLV: } \sum_{i=1}^2 \bar{F}_i \delta \bar{x}_i = 0$$

$$\begin{aligned} \bar{F}_1 \delta \bar{x}_1 + \bar{F}_2 \delta \bar{x}_2 &= (-kx \cdot \hat{i}) \cdot \delta x \cdot \hat{i} + (mg \cdot \hat{j}) \cdot \delta y \cdot \hat{j} = 0 \\ -kx \delta x + mg \delta y &= 0 \end{aligned}$$

x, y sono coordinate dipendenti, si sceglie una coordinate di pedate lagrangiana θ

$$x = L - L \cos \theta$$

$$y = L \sin \theta$$

$$\bar{R} + \bar{F}' = 0 \quad , \text{ principio di D'Alembert}$$

Il PLV in dinamica assume l'espressione detta "principio generalizzato":

$$\sum_{i=1}^N (\bar{F}_i - m_i \ddot{r}_i) \delta \bar{r}_i = 0 \quad \forall i \quad , \text{ si ha l'equilibrio dinamico del sistema}$$

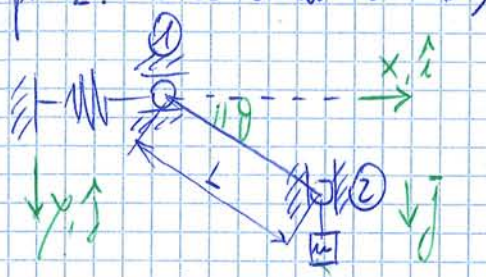
forze attive forze d'inerzia $\therefore \Rightarrow \sum_{i=1}^N (\bar{F}_i + \bar{F}'_i) \delta \bar{r}_i = 0$

Terminologia: \bar{R} = forza risultante $\ddot{r} = \text{neoz. vincolare}$

\bar{F} = forza attiva (isterica o interna) \bar{F}' = forze d'inerzia

$\bar{R} + \bar{F}'$ = forza effettiva.

Esempio 2. Caso dinamico \rightarrow la differenza con il caso statico è il calcolo delle \bar{F}'



$$\ddot{r}_2 = y \cdot \ddot{j} \quad \ddot{r}_2 = \ddot{y} \cdot j$$

$$\bar{F}_1 \delta \bar{r}_1 + (\bar{F}_2 - m \ddot{r}_2) \delta \bar{r}_2 = 0 \quad (\text{PLV})$$

$$x = L - L \cos \theta$$

$$\delta x = L \sin \theta \delta \theta$$

$$y = L \sin \theta$$

$$\delta y = L \cos \theta \delta \theta$$

$$\dot{x} = L \sin \theta \cdot \dot{\theta} \quad \dot{y} = L \cos \theta \cdot \dot{\theta} \quad \text{similmente a prima}$$

Sostituendo tali valori nel PLV si ottiene: (con $\bar{F}_1 = -kx \cdot \hat{i}$, $\bar{F}_2 = my \cdot \hat{j}$)

$$[-kL(1-\cos\theta)L\sin\theta + myL\cos\theta - mL(\ddot{\theta}\cos\theta - \dot{\theta}^2\sin\theta)L\cos\theta] \delta\theta = 0 \quad , \forall \delta\theta$$

$$mL(\ddot{\theta}\cos\theta - \dot{\theta}^2\sin\theta) + kL(1-\cos\theta)\tan\theta - my = 0 \quad , \text{eq. del moto} \rightarrow \text{trascurabile}$$

Il sistema deve valere per ogni valore di θ , quindi il termine tra le parentesi quadre deve essere nullo. Per determinare i punti d'equilibrio si pone:

$$\dot{\theta}_{\text{eq}} = \ddot{\theta}_{\text{eq}} = 0 \quad , \text{vale l'equilibrio statico}$$

L'esercizio può essere risolto anche con la meccanica vettoriale, l'eq. deve valere per ogni angolo θ .

$$\int_{t_1}^{t_2} \delta L + \delta W_{nc} dt = 0 \quad , \text{Principio di Hamilton esteso}$$

$$\int_{t_1}^{t_2} \delta L dt = 0 \quad \text{per forze conservative} \quad W_{nc} = 0$$

è valido per l'ipotesi fondamentale $\delta \bar{T}_i(t_1) = \delta \bar{T}_i(t_2) = 0 \quad \forall i$

Esempio 2. Bisogna assemblare la lagrangiana L (si ha bisogno di quantità scalari)

$$T = \frac{1}{2} m \dot{\gamma}^2 \quad V = \frac{1}{2} k x^2 \quad \begin{array}{l} \text{(si spinge in verso l'alto)} \\ \text{con} \end{array} \quad \begin{cases} x = L - L \cos \theta \\ y = L \sin \theta \\ \dot{y} = L \cos \theta \cdot \dot{\theta} \end{cases}$$

$$\Rightarrow L = T - V = \frac{1}{2} m L^2 \cos^2 \theta \cdot \dot{\theta}^2 - \frac{1}{2} k L^2 (1 - \cos \theta)^2 + m g L \sin \theta$$

bisogna successivamente effettuare dei calcoli variazionali: un termine alla volta, ciò include δT e δV , equivale a calcolare $\frac{dT}{dt}$ e $\frac{dV}{dt}$, per calcolare δL :

$$\delta L = \delta T - \delta V = [-m L^2 \sin \theta \cos \theta \cdot \dot{\theta}^2 + (-k L (1 - \cos \theta) \sin \theta + m g L \cos \theta)] \delta \theta + \dots$$

$$\dots + \cancel{m L^2 \cos^2 \theta \dot{\theta} \delta \dot{\theta}} \quad \Rightarrow \text{due variabili: } \theta, \dot{\theta}$$

$$\int_{t_1}^{t_2} \delta L dt = 0 \Rightarrow \int_{t_1}^{t_2} m L^2 \cos^2 \theta \dot{\theta} \delta \dot{\theta} dt = \int_{t_1}^{t_2} m L^2 \cos^2 \theta \dot{\theta} \frac{d(\delta \theta)}{dt} dt = \dots$$

Si procede integrando per parti $\left(\int f(x) g'(x) dx = f(x) g(x) - \int f'(x) g(x) dx \right) \sim \text{Picciano}$

$$= [m L^2 \cos^2 \theta \dot{\theta}]_{t_1}^{t_2} - \int_{t_1}^{t_2} m L^2 (-2 \sin \theta \cos \theta \dot{\theta} + \cos^2 \theta \ddot{\theta}) \delta \theta dt$$

$$= 0 \quad \text{con} \quad \dot{\theta}(t_1) = \dot{\theta}(t_2)$$

$$\text{Risolvendo si ottiene:} \quad \int_{t_1}^{t_2} \delta L dt = \int_{t_1}^{t_2} f(\theta, \dot{\theta}, \ddot{\theta}) \delta \theta dt = 0 \quad \forall \delta \theta$$

Da ciò si deduce che $f(\theta, \dot{\theta}, \ddot{\theta}) = 0$ è l'equazione del moto

Hamilton fornisce già le condizioni al contorno rispetto a Lagrange, tuttavia quest'ultimo è preferibile

Applicando il principio di Hamilton esteso: $\int_{t_1}^{t_2} (L + \sum Q_u) dt = 0$

$$\Rightarrow \int_{t_1}^{t_2} \sum L(q_1, q_2, \dots, q_m, \dots) dt + \int_{t_1}^{t_2} \sum Q_u dq_u dt = 0$$

$$\text{con l'ipotesi } \dot{q}_{\bar{i}}(t_1) = \dot{q}_{\bar{i}}(t_2) = 0 \Rightarrow q_1(t_1) = \dots = q_m(t_1) = q_1(t_2) = \dots = q_m(t_2) = 0$$

Imponendo la stazionarietà dell'integrale si ottengono le "Equazioni di Lagrange"

$$\frac{d}{dt} \frac{\partial L}{\partial \dot{q}_u} - \frac{\partial L}{\partial q_u} = Q_u \quad \text{con } u = 1, \dots, m$$

una eq. per ogni DOF

Il vantaggio rispetto a Hamilton è che non si tratta di una formulazione integrale e non è richiesto il calcolo di reazioni vincolari e ciò implica gli stessi pregi e gli stessi difetti.

2. Esempio 2.

$$\frac{d}{dt} \frac{\partial L}{\partial \dot{\theta}} - \frac{\partial L}{\partial \theta} = 0$$

$$\text{con } q_1 = \theta \text{ (rotazione)} \\ Q_u = 0 \text{ (solo forze conserv.)} \\ L = T - V$$

$$\frac{\partial V}{\partial \theta} = 0 \text{ in meccanica!}$$

$$\Rightarrow \frac{d}{dt} \frac{\partial L}{\partial \dot{\theta}} - \frac{\partial L}{\partial \theta} + \frac{\partial V}{\partial \theta} = 0$$

, formulazione di Lagrange nel caso specifico (metti il processo lagrangiano θ e $\dot{\theta}$ è come se fossero due variabili indipendenti!)

$$T = \frac{1}{2} m \dot{\theta}^2 = \frac{1}{2} m L^2 \cos^2 \theta \cdot \dot{\theta}^2$$

$$V = \frac{1}{2} k L^2 (1 - \cos \theta) - m g L \sin \theta$$

$$\frac{\partial L}{\partial \dot{\theta}} = m L^2 \cos^2 \theta \cdot \dot{\theta}, \quad \frac{\partial L}{\partial \theta} = -m L^2 \cos \theta \sin \theta \cdot \dot{\theta}^2$$

$$\frac{\partial V}{\partial \theta} = k L^2 (1 - \cos \theta) \sin \theta - m g L \cos \theta$$

Si ottiene:

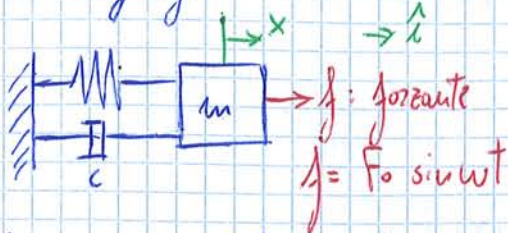
$$(m L^2 \cos^2 \theta \cdot \ddot{\theta} - 2 m L^2 \sin \theta \cos \theta \dot{\theta}^2) - (-m L^2 \cos \theta \sin \theta \cdot \dot{\theta}^2) + (k L^2 (1 - \cos \theta) \sin \theta - m g L \cos \theta) = 0$$

$$\frac{d}{dt} \frac{\partial L}{\partial \dot{\theta}}$$

$Q_u = 0$ se non ci sono forze non conservative!

- Applicazioni Eq. di Lagrange

• Esempio 1 (SDOF)



$$T_{\text{kin}} = \frac{1}{2} C \dot{x}^2$$

si sostituisce all'eu. potenziale $k \rightarrow C$, $x \rightarrow \dot{x}$ perché il dissipatore viene trattato come una molla (vali sempre).

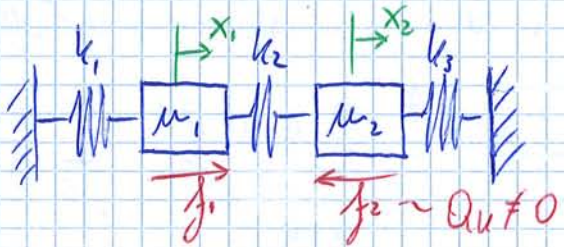
NB La velocità dipende dalle posizioni dello smorzatore (se esso è tra due masse si sostituisce la velocità relativa).

$$Q_u = \sum_{i=1}^N \bar{F}_i, \text{ mc } \frac{\partial \bar{T}_i}{\partial x} = F_0 \sin wt \cdot \hat{x} \cdot \frac{\partial (\dot{x} \cdot \hat{x})}{\partial x} = \underbrace{F_0 \sin wt}_{\text{forza m.c.}} \quad (\text{vettore posizione: } \vec{r}_i = x \cdot \hat{x})$$

$$\frac{\partial T}{\partial \dot{x}} = m \ddot{x}, \quad \frac{\partial T}{\partial x} = 0, \quad \frac{\partial V}{\partial x} = kx, \quad \frac{\partial \bar{T}}{\partial \dot{x}} = C\dot{x}, \quad \frac{\partial Q_u}{\partial x} = m\ddot{x}$$

$$\text{Risultato: } m\ddot{x} + C\dot{x} + kx = F_0 \sin wt$$

• Esempio 2.



Si assumono coordinate lagrangiane inusuali: $\begin{cases} q_1 = x_1 \\ q_2 = \Delta = x_2 - x_1 \Rightarrow x_2 = \Delta + x_1 \\ \dot{x}_2 = \dot{\Delta} + \dot{x}_1 \end{cases}$ spostamento relativo

$$T = \frac{1}{2} m_1 \dot{x}_1^2 + \frac{1}{2} m_2 \dot{x}_2^2 = \frac{1}{2} m_1 \dot{x}_1^2 + \frac{1}{2} m_2 (\dot{\Delta} + \dot{x}_1)^2 \quad \text{non è necessario svolgere il quadrato.}$$

$$V = \frac{1}{2} k_1 x_1^2 + \frac{1}{2} k_2 (\underline{x_2 - x_1})^2 + \frac{1}{2} k_3 x_2^2 = \frac{1}{2} k_1 x_1^2 + \frac{1}{2} k_2 \Delta^2 + \frac{1}{2} k_3 (\Delta + x_1)^2$$

$x_2 - x_1 \equiv x_1 - x_2 \rightarrow$ il risultato con Lagrange non cambia

$$\frac{\partial}{\partial t} \frac{\partial T}{\partial \dot{q}_u} - \frac{\partial T}{\partial q_u} + \frac{\partial V}{\partial q_u} = Q_u, \quad Q_u \neq 0 \text{ con le forzanti } f_1 \text{ e } f_2$$

$$q_1: \frac{\partial T}{\partial \dot{x}_1} = m_1 \dot{x}_1 + m_2 (\dot{\Delta} + \dot{x}_1), \quad \frac{\partial V}{\partial x_1} = k_1 x_1 + k_3 (\Delta + x_1) \quad \Delta + x_1 \Rightarrow x_2 \text{ è dipendente da } x_1$$

$$Q_1 = \sum_{i=1}^2 \bar{F}_i, \text{ mc } \frac{\partial \bar{T}_i}{\partial x_1} = f_1 \cdot \hat{x}_1 \frac{\partial (\dot{x}_1 \cdot \hat{x}_1)}{\partial x_1} - f_2 \cdot \hat{x}_1 \cdot \frac{\partial (\dot{x}_2 \cdot \hat{x}_1)}{\partial x_1} = f_1 - f_2$$

Sì definisce: "Sistema naturale" \rightarrow sistema con $T_2 \neq 0$, $T_1 = T_0 = 0$, $\frac{\partial V}{\partial q_k} = 0$
 $\Rightarrow T_2 = T = \frac{1}{2} \{ \dot{q} \}^T [m] \{ \dot{q} \} = \sum_{k=1}^n \sum_{j=1}^n M_{jk} \dot{q}_k \dot{q}_j \cdot \frac{1}{2} = \dots$

$$\dots = \frac{1}{2} [\dot{q}_1, \dot{q}_2, \dots, \dot{q}_n] \begin{bmatrix} m_{11} & \cdots & m_{1n} \\ \vdots & \ddots & \vdots \\ m_{n1} & \cdots & m_{nn} \end{bmatrix} \begin{bmatrix} \dot{q}_1 \\ \vdots \\ \dot{q}_n \end{bmatrix} = \frac{1}{2} [m, \dot{q}_1^2 + \dots + m_{nn} \dot{q}_n^2 + \dots]$$

in cui $\{ \dot{q} \} = [\dot{q}_1, \dots, \dot{q}_n]^T$, vettore colonna delle velocità generalizzate

M_{jk} è la matrice di massa $[m]$ nei sistemi naturali, ed è simmetrica.

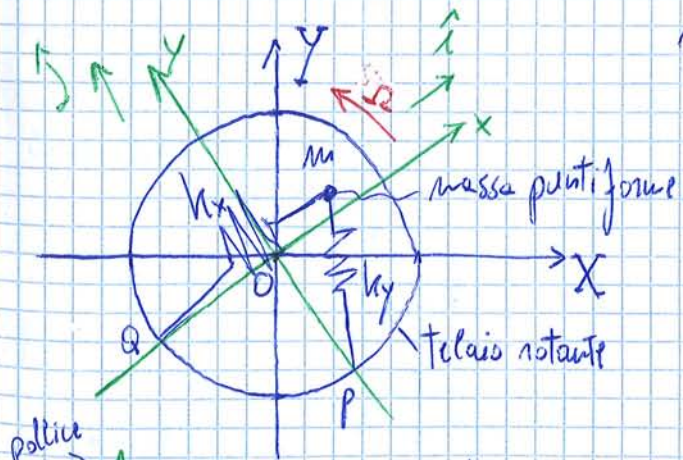
$$-\frac{d}{dt} \frac{\partial T}{\partial \dot{q}_k} = m_{kk} \ddot{q}_k + \dots + m_{nk} \ddot{q}_n = \underbrace{[m_{kk} \dots m_{nn}]}_{\text{matrice di massa}} \{ \ddot{q} \} \quad , \quad \frac{\partial T}{\partial q_k} = 0 \quad , \quad \dots \text{ altri termini di Lagrange si apriranno}$$

eq. di Lagrange k-esima

La matrice di massa è definita positiva: $T = \{ \dot{q} \}^T [m] \{ \dot{q} \} > 0$, $\{ \dot{q} \} \neq 0$

Un ragionamento analogo può essere fatto per dimostrare le caratteristiche della matrice di rigidezza $[k]$.

- Esempio di sistema non naturale: Anello rotante (caso generale)



m è collegata al telaio tramite due molle.
Si considerano i sistemi di riferimento:

XOY : Sist. di rif. fisso

xoy : mobile, solidale all'anello

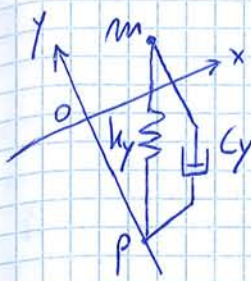
L'obiettivo è scrivere l'eq. del moto,
si utilizza Lagrange. (Newton \rightarrow complicato
per Fourier)

Terza destra \Rightarrow (regole della mano destra), si vuole calcolare $\vec{\tau}$:

$$\vec{\tau} = x \hat{i} + y \hat{j}, \quad \vec{\tau} = \Omega \hat{k}$$

$$\vec{\tau} = \dot{x} \hat{i} + \dot{y} \hat{j} + x \frac{d\hat{i}}{dt} + y \frac{d\hat{j}}{dt}$$

\hat{i}, \hat{j} non sono fissi, cambiano col t quindi per calcolarli
si utilizzano le formule di Poisson:



Aggiungendo gli smorzatori C_x, C_y si studia il caso più generale
Vale $\ddot{y} \approx \dot{y}$, $\ddot{x} \approx \dot{x}$

$$\text{Funzione dissipativa } \underline{\mathcal{F}} = \frac{1}{2} C_x \dot{x}^2 + \frac{1}{2} C_y \dot{y}^2, \begin{matrix} \text{smorzamento} \\ \text{interno} \end{matrix}$$

\Rightarrow Gli smorzatori sono interni all'attuale, lo smorzamento è espresso in coordinate relative

Si introduce anche lo smorzamento esterno (esterno al telaio), espresso in coordinate assolute tramite la funzione dissipativa \mathcal{F}''

$$\mathcal{F}'' = \frac{1}{2} h \dot{x}^2 + \frac{1}{2} h \dot{y}^2, \text{ con } h \text{ i coeff. di smorzamento esterno che caratterizza l'effetto ventilante agente anche con } \mathcal{F}' = 0$$

$$\mathcal{F} = \mathcal{F}' + \mathcal{F}'' = \frac{1}{2} C_x \dot{x}^2 + \frac{1}{2} C_y \dot{y}^2 + \frac{1}{2} h [(\dot{x} - \Omega y)^2 + (\dot{y} + \Omega x)^2]$$

$$\frac{d}{dt} \frac{\partial \mathcal{F}}{\partial q_{in}} - \frac{\partial \mathcal{F}}{\partial q_u} + \frac{\partial \mathcal{V}}{\partial q_u} + \frac{\partial \mathcal{F}}{\partial q_e} = Q_u = 0 \quad q = \begin{cases} x \\ y \end{cases} \begin{matrix} \text{espressione di} \\ \text{Lagrange} \end{matrix}$$

$$\text{Per } q_1 = x: \quad \frac{\partial \mathcal{F}}{\partial x} = m\ddot{x} - m\Omega^2 y, \quad \frac{d}{dt} \frac{\partial \mathcal{F}}{\partial x} = m\ddot{\ddot{x}} - m\Omega^2 \dot{y}, \quad \frac{\partial \mathcal{V}}{\partial x} = k_x \cdot x$$

$$\frac{\partial \mathcal{F}}{\partial y} = m\ddot{y} + m\Omega^2 x, \quad \frac{d}{dt} \frac{\partial \mathcal{F}}{\partial y} = m\ddot{\ddot{y}} + m\Omega^2 \dot{x}, \quad Q_x = 0$$

$$\text{Per } q_2 = y: \quad \frac{\partial \mathcal{F}}{\partial y} = m\ddot{y} + m\Omega^2 x, \quad \frac{d}{dt} \frac{\partial \mathcal{F}}{\partial y} = m\ddot{\ddot{y}} + m\Omega^2 \dot{x}, \quad \frac{\partial \mathcal{V}}{\partial y} = k_y \cdot y$$

$$\frac{\partial \mathcal{F}}{\partial x} = -m\Omega \dot{x} + m\Omega^2 y, \quad \frac{d}{dt} \frac{\partial \mathcal{F}}{\partial x} = C_x \cdot \dot{x} + h \dot{x} - h \cdot \dot{y}, \quad Q_y = 0$$

$$\text{eq. del moto: } x \quad m\ddot{\ddot{x}} - m\Omega^2 y - m\ddot{y} - m\Omega^2 x + k_x \cdot x + C_x \cdot \dot{x} + h(\dot{x} - \Omega y) = 0$$

$$y \quad m\ddot{\ddot{y}} + m\Omega^2 x + m\Omega^2 \dot{x} - m\Omega^2 y + k_y y + C_y \cdot \dot{y} + h(\dot{y} + \Omega x) = 0$$

$$\Rightarrow \begin{bmatrix} m & 0 \\ 0 & m \end{bmatrix} \begin{cases} \dot{x} \\ \dot{y} \end{cases} + \left(\begin{bmatrix} C_x & 0 \\ 0 & C_y \end{bmatrix} + \begin{bmatrix} h & 0 \\ 0 & h \end{bmatrix} + \begin{bmatrix} 0 & -2m\Omega \\ 2m\Omega & 0 \end{bmatrix} \right) \begin{cases} \dot{x} \\ \dot{y} \end{cases} + \dots$$

$$\dots + \underbrace{\begin{bmatrix} k_x & 0 \\ 0 & k_y \end{bmatrix}}_{[B]} + \underbrace{\begin{bmatrix} -m\Omega^2 & 0 \\ 0 & -m\Omega^2 \end{bmatrix}}_{[C]} + \underbrace{\begin{bmatrix} 0 & -h\Omega \\ h\Omega & 0 \end{bmatrix}}_{[A]} \begin{cases} x \\ y \end{cases} = \begin{cases} 0 \\ 0 \end{cases}, \quad [A], [B], [C] \text{ sono matrici particolari}$$

$$\text{Forma compatta} \quad [m] \{ \ddot{q} \} + ([C^*] + [G]) \{ \ddot{q} \} + ([k^*] + [H]) \{ q \} = \{ 0 \}$$

DOF:

- 1) Traslazione assiale u
- 2) Trasl. trasversale v
- 3) Trasl. trasversale w
- 4) Rotazione torsionale θ_x
- 5) Rot. gressionali θ_y
- 6) Rot. gressionale θ_z



Forze generalizzate:

- 1) Forza assiale N
- 2) Forza di taglio T_y
- 3) Forza di taglio T_z
- 4) Momento torcente M_x
- 5) Momento flettente M_y
- 6) Momento flettente M_z

Si tiene conto delle seguenti ipotesi semplificative:

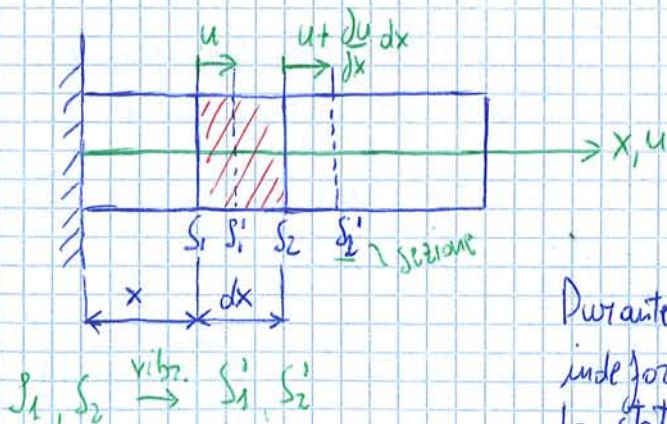
Le travi hanno asse rettilineo, quindi la traslazione assiale è discoppiata dagli altri DOF.

Hanno due di simmetria mutuamente ortogonali che mantengono la stessa inclinazione lungo la trave. La trave prismatica, una trave svergolata non rispetta tale condizione. Ciò porta a un discoppimento del DOF torsionale e del comportamento gressionale del piano xy da quello nel piano Xz .

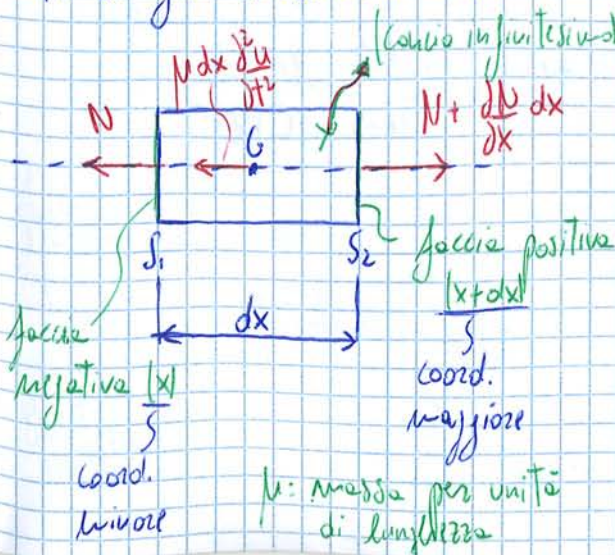
Vibrazioni libere assiali delle aste. \Rightarrow (solo comportamento assiale)

Si ipotizza un asta con:

- comportamento elastico-lineare
- esclusione di stiriazione (contrazione trasversale), ciascuna sezione si comporta come un corpo rigido.

(Forze agenti su elemento dx)

Durante le vibrazioni si passa dalla configurazione indeformata (S_1, S_2) alla nuova posizione (S'_1, S'_2) . Lo stato di deformazione dell'asta è individuato dalla funzione $u(x, t)$.



(Convezione di segno) Convenzione di segno: le caratteristiche della sollecitazione sono concordi con gli assi di riferimento sulle facce positive e discordi su quelle negative.

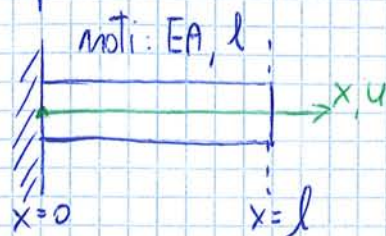
Forze in gioco:

Forze assiali: $N, N + \frac{dN}{dx} dx$ Forze di massa su G $\rho dx \frac{d^2 u}{dx^2}$

$$u(x,t) = \sum_{n=1}^{\infty} |A_n \cos \omega_n t + B_n \sin \omega_n t| (C_n \cos \frac{\omega_n}{c} x + D_n \sin \frac{\omega_n}{c} x)$$

A_n, B_n dipendono dalle condizioni iniziali $u(x,0) = f(x)$ $\dot{u}(x,0) = g(x)$
 C_n, D_n, ω_n dipendono dalle condizioni al bordo (o al contorno)
 ↗ pulsazioni proprie dell'asta

- Caso particolare : trave incastriata-libera



Moti: EA, l
La scelta di x è arbitraria, vale $c = \sqrt{\frac{AE}{\mu}}$

$$\phi(x) = C \cos \frac{\omega}{c} x + D \sin \frac{\omega}{c} x$$

Si impongono le condizioni al contorno : $\int_1 u(0,t) = 0, \forall t$
 $\Rightarrow \phi(0) \cdot \eta(t) = 0 \Rightarrow \phi(0) = 0, C = 0$

2°) Esterno libero ($x=l$) presenta forze nulle $N(l,t) = 0, \forall t$

$$\Rightarrow N(x,t) = AE \frac{du}{dx}, N(l,t) = AE \frac{d\phi}{dx}(l,t) = 0$$

$$AE \phi'(l) \eta(t) = 0 \Rightarrow \phi'(l) = 0$$

$$\phi'(x) = \frac{\omega}{c} \left(-C \sin \frac{\omega}{c} x + D \cos \frac{\omega}{c} x \right) \quad \text{con } C = 0$$

$$\phi'(l) = \frac{\omega}{c} D \cos \frac{\omega}{c} l = 0, \text{ dall'espressione emergono le possibili soluzioni:}$$

- $\omega = 0$, non è una sol. perché corrisponde a un moto rigido senza oscillazioni e ciò non è possibile con le condizioni vincolari in esame.
- $D = 0$, è una soluzione banale corrisponde a $u = 0$, cioè sistema in quiete immobile.
- $\cos(\frac{\omega}{c} l) = 0$, soluzione accettabile che soddisfa la seconda equazione.

$$\Rightarrow \frac{\omega_n}{c} \cdot l = \pi \cdot \frac{\pi}{2}, \pi = 1, 3, 5 \dots \text{valori disponibili} \Rightarrow \omega_n = \pi \cdot \frac{\pi}{2l} \sqrt{\frac{AE}{\mu}}$$

$$\text{Autofunzioni } \phi_n(x) = D_n \sin \left(\pi \frac{\pi}{2l} \sqrt{\frac{AE}{\mu}} \cdot x \right) = 1 \cdot \sin \left(\pi \cdot \frac{\pi}{2l} \cdot x \right) \quad \text{con } D_n = 1$$

Si suppone D_n unitario ($D_n = 1$)

• Lunghezza d'onda

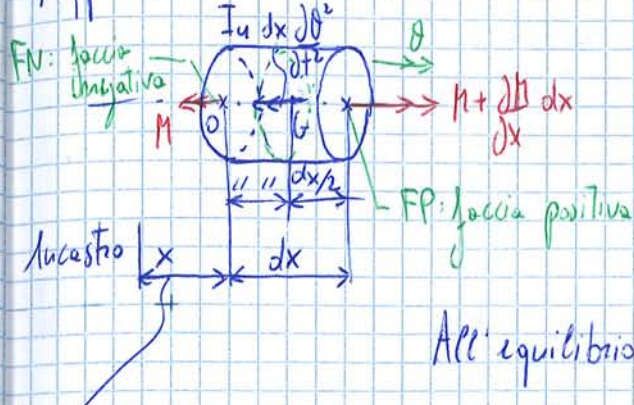
$$\lambda_n = \frac{2\pi}{\pi \frac{\pi}{2l}} = \frac{4}{\pi} \cdot l \Rightarrow$$

$$\begin{cases} \text{Modo 1} & \pi = 1 & \lambda_1 = \pi l \\ \text{Modo 2} & \pi = 3 & \lambda_2 = \frac{4}{3} l \\ \text{Modo 3} & \pi = 5 & \lambda_3 = \frac{4}{5} l \end{cases}$$

- Vibrazioni libere torsionali delle travi.

Nel caso di oscillazioni torsionali le travi prendono il nome di Barre. Si ipotizza le barre come rettilinee e il DOF torsionale disaccoppiato dagli altri.

Approssimazione D'Alcambert: (DCL)



La coordinata è fissata a x per la parte di sinistra del coulo

$$X = \text{cost.} \Rightarrow \frac{dx}{dt} = 0, \text{ le derivate totali } \frac{d\theta}{dt} = \frac{d\theta}{dx} \frac{dx}{dt} + \frac{d\theta}{dt} \stackrel{a=0}{=} \frac{d^2\theta}{dt^2} \Rightarrow \frac{d^2\theta}{dt^2} = \frac{d^2\theta}{dx^2}$$



Nell'esempio del passaggio di un camion a V costante su un ponte cambiano le caratteristiche di sollecitazione e quindi derivata parziale \neq derivata totale ($\frac{dx}{dt} > 0$)

$$\frac{d^2}{dt^2} [\theta(x + \frac{dx}{2}, t)] = \frac{d^2}{dt^2} [\theta(x, t) + \underbrace{\frac{d\theta}{dx} \frac{dx}{2}}_{O(dx^2)}] = \frac{d^2\theta}{dt^2} + O(dx^2)$$

Ricorriamo

$$\text{Sviluppo: } M(x + dx) = M(x) + \frac{dM}{dx} dx + \frac{1}{2} \frac{d^2M}{dx^2} dx^2, \text{ si ottiene } \frac{dM}{dx} = I_u \frac{d^2\theta}{dt^2}$$

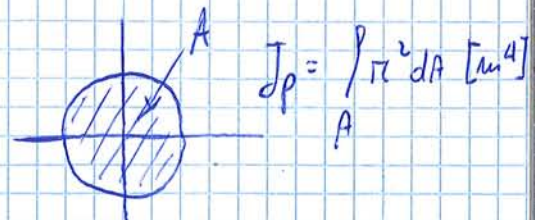
Dalla Teoria dell'elasticità: $M = G \cdot J_p \cdot \frac{d\theta}{dx}$, valido per sezioni circolari o anulari

G : modulo di elasticità tangenziale

J_p : momento d'inerzia di area polare (da distinguere da quelli di massa)

$G \cdot J_p = \text{costante}$ ottenendo l'eq. del moto:

$$G \cdot J_p \cdot \frac{d^2\theta}{dt^2} = I_u \cdot \frac{d^2\theta}{dx^2}$$



Dalla relazione tra T e M si ottiene: $T = -\frac{\partial}{\partial x} (EI \frac{\partial^2 v}{\partial x^2})$

Sostituendola in rel. 1, supposto $EI = \text{costante}$ si ricava l'eq. del moto:

$$-\frac{\partial}{\partial x} (EI \frac{\partial^4 v}{\partial x^4}) - \mu \frac{\partial^2 v}{\partial t^2} + f(x, t) = 0 \quad \text{con } EI = \text{cost.}$$

parametri fisici forzante da specificare si immagina che le sezioni si mantengano ortogonali alle linea d'asse senza def. o taglio.
asse neutro durante inflessione

Se $f(x, t) = 0 \Rightarrow EI \frac{\partial^4 v}{\partial x^4} + \mu \frac{\partial^2 v}{\partial t^2} = 0$, si ottiene l'eq. di Euler-Bernoulli per vibrazioni libere flessionali

Al solito si cerca la soluzione nella forma: $v(x, t) = \phi(x) \eta(t)$, sol. stazionaria
 $\eta(t) = \eta_0 \sin(\omega t + \alpha)$, per le oscillazioni libere la dipendenza dal tempo $\mu \eta'(t) \cdot \phi(x)$ è armonica quindi si può eliminare

$$1) EI \phi''(x) \cdot \eta_0 \sin(\omega t + \alpha) - \omega^2 \mu \phi(x) \eta_0 \sin(\omega t + \alpha) = 0 \quad \forall t$$

$$2) EI \phi''(x) - \mu \omega^2 \phi(x) = 0 \Rightarrow \phi'' - \frac{\mu \omega^2}{EI} \phi = 0 \quad \text{è un autoproblema differenziale}$$

$$\beta^4 = \frac{\mu \omega^2}{EI} \quad \text{per comodità di scrittura, sol. cercata } \phi = \phi_0 e^{\lambda x}$$

$$(\lambda^4 - \beta^4) \cdot \phi \cdot e^{\lambda x} = 0 \Rightarrow \lambda^4 = \beta^4, \text{ quattro soluzioni } \lambda_{1,2} = \pm \beta, \lambda_{3,4} = \pm i\beta$$

Combinandole si ottiene l'"autofunzione" o "funzione modale":

$$\phi(x) = A \cos \beta x + B \sin \beta x + C \cosh \beta x + D \sinh \beta x$$

Impponendo le condizioni al bordo si ottengono infiniti valori di β e ω .

$$N(x, t) = \sum_{n=1}^{\infty} \phi_n(x) (F_n \cos \omega_n t + f_n \sin \omega_n t) \quad \text{sol. dinamica delle travi con contributi modulari.}$$

F_n, f_n : dipendono dalle condizioni iniziali

A_n, B_n, C_n, D_n : dipendono dalle condizioni al contorno, le pulsazioni proprie ω_n sono le incognite primarie.

Le condizioni di bordo o al contorno tipiche di una trave sono 3:
 trave libera, appoggiata o incastellata.

Vengono escluse le soluzioni banali che implica la trave ferma ($A=B=C=D=0$)
 $\det[\text{matrice dei coefficienti}] = 0$ per ricavare l'equazione caratteristica

$$\begin{cases} (\cosh \beta l - \cos \beta l)^2 - (\sinh^2 \beta l - \sin^2 \beta l) = 0 \\ \cos^2 \beta l + \sin^2 \beta l = 1 \\ \cosh^2 \beta l - \sinh^2 \beta l = 1 \end{cases}$$

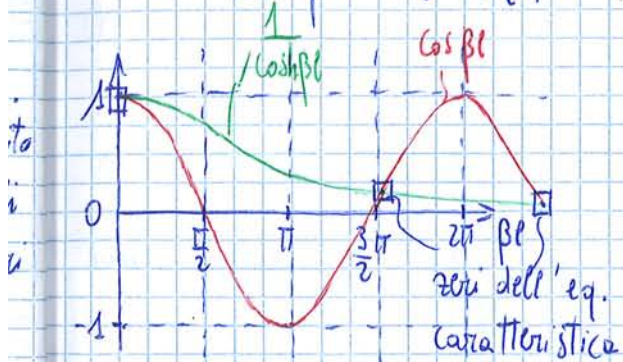
Soluzione sistema:

$$\Rightarrow 1 - \cosh \beta l \cos \beta l = 0, \text{ con } \beta = \frac{\mu w^2}{EI}$$

permette di ricavare le pulsazioni proprie

La eq. caratteristica ha forme transcendenze con ∞ soluzioni, per scrivere le sol.
 in forma chiusa si ricorre a una "soluzione numerica":

$$\cos \beta l = \frac{1}{\cosh \beta l} = \frac{2}{e^{\beta l} + e^{-\beta l}} \rightarrow 0 \text{ per } \beta \rightarrow \infty$$



Il picco massimo per entrambe le funzioni si ha
 per $\beta l = 0$ (primo zero calcolabile)

Dall'eq. di partenza

$$\phi^{IV} - \beta^4 \phi = 0 \Rightarrow \phi^{IV} = 0$$

$$\phi = A + Bx + Cx^2 + Dx^3 = 0$$

$$\text{Dalle cond. al contorno: } \phi''(0) = 0, \phi'''(0) = 0 \Rightarrow C = D = 0$$

La sol. è una retta $\phi = A + Bx$, che si ha nel caso di moto rigido
 (traslazione pura + rotazione), ci sono due moti rigididi indipendenti.

$\Gamma = 0 \Rightarrow$ trasl. pure

rot. pure

$$\underline{\underline{w} = 0}$$

$$\cancel{\underline{\underline{w} = 0}}$$

Numericamente vengono individuati gli altri β : $\Gamma = 1$ $\beta_1 l = \frac{3}{2}\pi = \left(1 + \frac{1}{2}\right)\pi$
 $\Gamma = 2$ $\beta_2 l = \frac{5}{2}\pi = \left(2 + \frac{1}{2}\right)\pi$
 $\Gamma = 3$ $\beta_3 l = \frac{7}{2}\pi = \left(3 + \frac{1}{2}\right)\pi$

$$\Rightarrow \text{Sol generale } \beta_l \approx \left(\Gamma + \frac{1}{2}\right)\pi$$

$$w_\Gamma = \left|\Gamma + \frac{1}{2}\right|^2 \frac{\pi^2}{l^2} \sqrt{\frac{EI}{\mu}}$$

$$\left(\frac{f_2}{f_1} \right) \text{ è circa un undicesimo}$$

Bisogna calcolare ω^2 , $\phi(x)$ (mi discreti l'EVP è di tipo algebrico).

- Operatori differenziali autoaggiunti:

Occorre verificare che M , K siano autoaggiunti. Dato un operatore differenziale L (M o K) sul dominio D e assegnate due funzioni qualsiasi di forme di oscillazione $u(x)$, $v(x)$ che soddisfano le condizioni al bordo si definisce:

$$\text{Prodotto interno } [u, \mathcal{L}[v]] \stackrel{\text{def}}{=} \int_D u \mathcal{L}[v] dD$$

\Rightarrow i autoaggiunto se il prodotto interno è simmetrico: $(u, d[v]) = (v, d[u])$

Si dimostra che "M" e "K" sono operatori autoaggiuntivi

$$m: \int_0^l u(x) m(|x|) v(x) dx = \int_0^l v(x) m(|x|) u(x) dx$$

(Int. per parti)

$$M: \int_0^l u(x) M(x) v(x) dx = \int_0^l u(x) M(x) v''(x) dx$$

cost. $\int_0^l u(x) v''(x) dx = [u(x)v'''(x)]_0^l - \int_0^l u'(x)v'''(x) dx$

v : per trovare $E \cdot B$ $\int_0^l u(x) \cdot EI \frac{d^4 v}{dx^4} dx = EI \int_0^l u(x) v''(x) dx = [u(x)v'''(x)]_0^l - \int_0^l u'(x)v'''(x) dx = 0$

$= -[u'(x)v'''(x)]_0^l + \int_0^l u''(x)v'''(x) dx$

$= 0$ \forall cond. al bordo

$$\int_0^l v(x) \cdot EI \frac{du}{dx} dx = \int_0^l u'' \cdot v'' dx, \text{ si ottiene lo stesso risultato (ciò dimostra che } u \text{ è autoaggiunto)}$$

$$[u, k[u]] = \int_0^l u \cdot EI \cdot u'' dx = \int_0^l [EI \left(\frac{d^2 u}{dx^2} \right)^2] dx \geq 0, \text{ il termine elevato al quadrato è sempre positivo, ed è } 0.$$

Quindi:

Quindi:

L'operatore di rigidità è definito positivo e quindi tutti gli autovalori sono $\omega^2 > 0$.

Nel caso di $\frac{d^2\mathbf{u}}{dx^2} = 0 \quad \forall x$ si ha il moto rigido ($\omega^2 = 0$) di pure traslazione

o di pura rotazione.

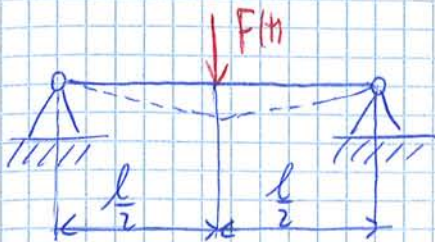
$$\frac{1}{2} \int_0^l EI \left(\frac{d^2w}{dx^2} \right)^2 dx = V(t) , \text{ en. potenziali nulle in presenza di moti rigidi.}$$

\mathbf{K} è auto-aggiunto e semi-definito positivo.

$$m_r(t) = \int_0^l N_r(z) m_r |t-z| dz$$

$$w(t) = \sum_{n=1}^{\infty} \phi_n(x) m_n(t)$$

- Applicazione: Trave s.s. (simply-supported) \rightarrow semplicemente appoggiata con carica in mezzeria.



Nella statica si ha la deflessione della trave

$$\delta_{si}\left(\frac{l}{2}\right) = \frac{P_0}{48} \cdot \frac{l^3}{EI}, \text{ spostamento statico}$$

Libero il' eq. del moto è:

$$EI \frac{d^4v}{dx^4} + \mu \frac{d^2w}{dt^2} = 0$$

Le cond. al contorno sono (riferite alle proprietà della trave appoggiata):

$$v(0, t) = w(l, t) = 0 \Rightarrow \phi(0) = \phi(l) = 0 \quad , \text{ I}^{\text{a}} \text{ C.C. da spostamento}$$

$$M(0, t) = M(l, t) = 0 \Rightarrow \phi''(0) = \phi''(l) = 0 \quad , \text{ II}^{\text{a}} \text{ C.C. da momento}$$

Sol. cercata $\phi(x) = A \cos \beta x + B \sin \beta x + C \cosh \beta x + D \sinh \beta x$

Nelle risoluzioni si ricava per $\beta^4 = \frac{\mu w^2}{EI}$ si ha $\beta_n = \pi \cdot \frac{n}{l}$, $w_n^2 = \frac{\pi^4 \mu^4}{l^4} \frac{EI}{\mu}$

$$\phi_n = \sin\left(\pi \frac{n}{l} x\right), n=1, 2, \dots \quad , \text{ le autofunzioni o forme modali sono delle sinusoidi}$$

$$m_n = \int_0^l \phi_n^2 dx = \mu \int_0^l \sin^2\left(\pi \frac{n}{l} x\right) dx \quad , \text{ massa modale}$$

Per comodità di scrivere s'imposta: $\pi \cdot \frac{n}{l} \cdot x = y$, $\pi \cdot \frac{n}{l} \cdot dx = dy \Rightarrow \begin{cases} x=0 & y=0 \\ x=l & y=\pi \cdot n \end{cases}$

$$m_n = \mu \int_0^{\pi n} \sin^2 y \cdot \frac{l}{\pi n} \cdot dy = \frac{\mu \cdot l}{\pi n} \int_0^{\pi n} \frac{1 - \cos 2y}{2} dy = \frac{\mu \cdot l}{\pi n} \cdot \frac{\pi n}{2} = \frac{\mu l}{2} = \frac{m_T}{2} \quad \forall n$$

$$\mu l: \text{massa totale } m_T \Rightarrow m_n = \frac{m_T}{2}$$

Per la trave s.s. con carico in mezzeria tutte le masse modali m_n sono uguali e sono uguali a metà della massa totale.

- Quotiente di Rayleigh: consente di trovare la prima frequenza propria (frequenza fondamentale) per i sistemi continuo utilizzando metodi approssimati.

Ci si riferisce a un sistema discreto di m° DOF conservativo per semplicità e successivamente l'applicazione va fatta sui sistemi continuo:

$$[m] \{ \ddot{x} \} + [k] \{ x \} = \{ 0 \}$$

$$\{ \Psi_r \}^T W_r^2 [m] \{ \Psi_r \} = \{ \Psi_r \}^T [k] \{ \Psi_r \} , \text{ si premoltiplica l'EVP per } \{ \Psi_r \}^T$$

$$\omega_r^2 = \frac{\{ \Psi_r \}^T [k] \{ \Psi_r \}}{\{ \Psi_r \}^T [m] \{ \Psi_r \}} , \text{ è la ricchezza o equazione "isatta"}$$

Energie: $V = \frac{1}{2} \{ x \}^T [k] \{ x \}$ $T = \frac{1}{2} \{ \dot{x} \}^T [m] \{ \dot{x} \}$

Quindi l'autovalore ω^2 è legato al rapporto tra le due energie, sostituendo un vettore generico $\{ u \} \in \mathbb{R}^m$ all'autovettore si ottiene

$$\omega^2 = R(\{ u \}) \stackrel{\text{def}}{=} \frac{\{ u \}^T [k] \{ u \}}{\{ u \}^T [m] \{ u \}} , \text{ Quotiente di Rayleigh}$$

In generale R non coincide con un autovalore, a meno che $\{ u \}$ non sia autovettore. Applicando il teorema di espansione si esprime $\{ u \}$ come combinazione lineare di autovettori:

$$\{ u \} = \sum_{n=1}^m c_n \{ \Psi_n \} \quad , \quad \{ u \} \in \mathbb{R}^m$$

concetto di vicinanza \rightarrow Se $c_n \gg c_s \Rightarrow c_n = c_s + \text{perturbazione}$

Quando $\{ u \}$ è simile all'autovettore $\{ \Psi_r \}$ si può affermare che

$$c_i = \epsilon_i \cdot c_r \quad , \text{ con } \epsilon_i \ll 1 , i \neq r$$

$$\Rightarrow R(\{ u \}) \approx \omega_r^2 + \sum_{i \neq r} \epsilon_i^2 (\omega_i^2 - \omega_r^2)$$

Al quoziente di Rayleigh è stazionario nell'intorno dell'autovettore (nell'autovettore il gradiente è nullo). \rightarrow enunciato della stazionarietà di R

Le funzioni che rappresenta la soluzione sinusoidale sono:

$$j(t) = \sin(\omega t + \phi) \quad j'(t) = \omega \cos(\omega t + \phi)$$

Per un sistema conservativo l'energia totale si conserva: $E = \text{costante}$

$$E = T_{\max} + V_{\max} = \frac{1}{2} \dot{x}_0^T [M] \dot{x}_0 + \frac{1}{2} x_0^T [K] x_0$$

$$\cos^2(\omega t + \phi) = 1 \quad \sin^2(\omega t + \phi) = 0 \quad \cos^2(\omega t + \phi) = 0 \quad \sin^2(\omega t + \phi) = 1$$

c'è un "palluccio" di energie tra l'energia cinetica e quella potenziale che porta ad avere:

$$T_{\max} = V_{\max} = \omega^2 \cdot F$$

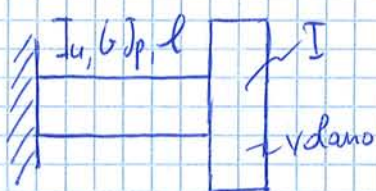
$$\Rightarrow \omega^2 = \frac{V_{\max}}{F} = \frac{\{x_0\}^T [K] \{x_0\}}{\{x_0\}^T [M] \{x_0\}} = \beta(\{x_0\})$$

, quoziente di Rayleigh: maniera alternativa per stimare le pulsazioni proprie

$\{x_0\}$: vettore tentativo, deve essere simile al primo autovettore.

Ciò è valido anche per i sistemi continui, se conservano l'energia totale.

- Applicazione: barre di torsione con volano all'estremità

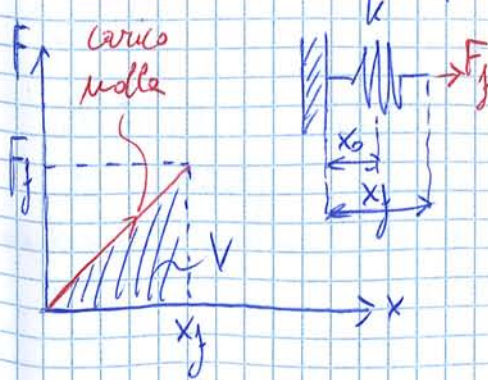


$$\theta(x,t) = u(x) \cdot \gamma(t) = u(x) \cdot \sin(\omega t + \phi)$$

$u(x)$: trial function (funzione di tentativo)

$$\frac{d\theta}{dx} = u(x) \cdot \omega \cos(\omega t + \phi), \quad V_{\max} = T_{\max} = \omega \cdot F$$

Ricchiamo: Teorema di Clapeyron \rightarrow nel caso di corpo elastico lineare l'energia pot. immagazzinata è metà del lavoro compiuto dalla sollecitazione se questa avesse già la deformazione finale.

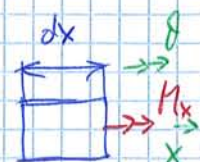


$$V = \frac{1}{2} F_j \cdot x_j = \frac{1}{2} k \cdot x_j^2$$

Stessa cosa vale in caso di torsione

$$M_T = G \cdot J_p \cdot \frac{d\theta}{dx}$$

$$dV = \left(G \cdot J_p \cdot \frac{d\theta}{dx} \right) \cdot d\theta \cdot \frac{1}{2} = \frac{1}{2} \cdot G \cdot J_p \cdot \frac{d\theta}{dx} \cdot \frac{d\theta}{dx} \cdot dx$$



$$\Rightarrow R(x) = \omega^2 = \frac{1}{I_u} \int_0^l G \cdot J_p \cdot 1^2 \cdot dx = \frac{G \cdot J_p \cdot l}{I_u \frac{l^3}{3} + I l^2} = \frac{\frac{G \cdot J_p}{l}}{I_u \frac{l}{3} + I} \quad [s^{-2}]$$

Il risultato è la stima della prima frequenza propria ω^2 , si effettua un'ulteriore verifica con analisi parametrica per stabilire l'esattezza del risultato:

$$I_u \rightarrow 0 \Rightarrow \omega^2 = \frac{G \cdot J_p}{I l}, \text{ risultato esatto}$$

II^{a} scelta: $u(x) = C = \text{costante}$, $u'(x) = 0$ non rispetta le C.B. geometriche

$\Rightarrow \omega^2 = 0$, si avrebbe un moto ruotatorio, ma l'essenza di deformazione è un compromesso inaccettabile per una tava incastriata soggetta a torsione (è incompatibile con i vincoli).

La stima della prima freq. propria deve essere sempre per eccesso: $\omega^2 > \omega_{\text{vera}}^2 > 0$

III^{a} scelta: $u(x) = x^2$, $u'(x) = 2x$ ammesso per le C.B. geom. rispettate.

$$\omega^2 = \frac{4}{3} \cdot \frac{\frac{G \cdot J_p}{l}}{I_u \frac{l}{5} + I}$$

Confrontando le I^{a} con la II^{a} scelta si ha che la prima è migliore perché

$$\omega^2|_{u=x^2} > \underline{\omega^2|_{u=x}} > \omega_{\text{vera}}^2$$

} si avvicina di più al valore reale della
prima frequenza propria.

Capisaldi del procedimento: se sistema conservativo calcolo $T_{\text{max}}, V_{\text{max}}, \tilde{T}$

↓

calcolo ω^2

↓

Scelgo $u(x)$ che rispetti
C.B. geometriche

$\delta = \bar{OC}$: è la spaccia elastica dell'albero che esprime l'inflessione. Il modello visco-sistico traduce l'effetto ventilante, anche se il modello non cambia perfettamente con la realtà.

Si impongono gli equilibri con sistema di riferimento:

$$(1) m\ddot{x}_0 + kx + cx = 0$$

$$(2) m\ddot{y}_0 + ky + cy = 0$$

$$(3) M - I\ddot{\psi} + (ky + cy)\varepsilon \cos \psi - (U_x + C_x)\cdot\varepsilon \sin \psi = 0 \rightarrow \text{escluso per la semplificazione}$$

Apostesi semplificativa: $\dot{\psi} = \omega = \text{costante} \Rightarrow$ si rende il sistema a due DOF:

$$\psi = \omega t$$

x, y, ψ eq. del momento
non si considera

Si vuole definire la coppia motrice $M(t)$ necessaria per mantenere ω costante.

$$\begin{cases} x_0 = x + \varepsilon \cos \omega t \\ y_0 = y + \varepsilon \sin \omega t \end{cases} \Rightarrow \begin{cases} \ddot{x}_0 = \ddot{x} - \varepsilon \omega^2 \cos \omega t \\ \ddot{y}_0 = \ddot{y} - \varepsilon \omega^2 \sin \omega t \end{cases}$$

$$\begin{cases} m\ddot{x} + cx + kx = m\omega^2 \varepsilon \cos \omega t \quad (1) \\ m\ddot{y} + cy + ky = m\omega^2 \varepsilon \sin \omega t \quad (2) \end{cases}$$

, il sistema è disaccoppiato con le ff. uguali \Rightarrow si tratta di un problema di massa eccentrica con $m\omega^2 \varepsilon$

forza centrifuga

Si definisce coordinate complesse: $\Gamma_t = x + iy$

Si serve a gestire 2 eq. con un'unica equazione ottenendo un sistema SDOF nella variabile complessa.

$$(1) + i(2): m(\ddot{x} + i\ddot{y}) + c(x + iy) + k(x + iy) = m\omega^2 \varepsilon (\cos \omega t + i \sin \omega t)$$

$$m\ddot{\Gamma}_t + c\dot{\Gamma}_t + k\Gamma_t = m\omega^2 \varepsilon e^{i\omega t} \quad (\text{SDOF})$$

La soluzione cercata a regime è nella forma: $\Gamma_t = Z_0 e^{i\omega t}$, $Z_0 \in \mathbb{C}$

Non è presente il fenomeno di battimento.

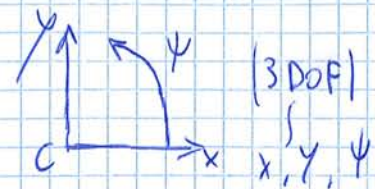
$$\Rightarrow |k - m\omega^2 + i\omega c| Z_0 = m\omega^2 \varepsilon$$

$$Z_0 = \frac{m\omega^2 \varepsilon}{k - m\omega^2 + i\omega c} = \frac{\varepsilon \left(\frac{\omega}{\omega_m}\right)^2}{1 - \left(\frac{\omega}{\omega_m}\right)^2 + i \frac{c}{\omega_m} \frac{\omega}{\omega_m}}$$

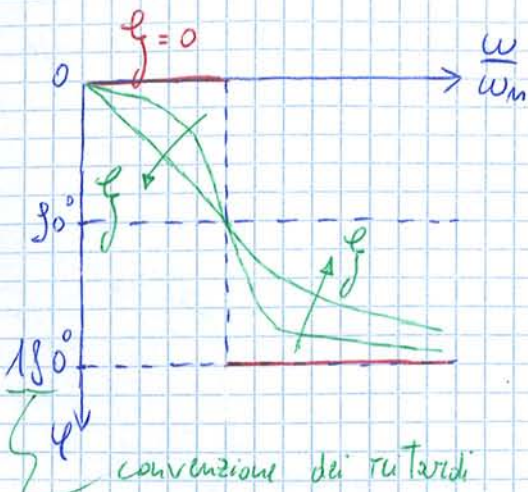
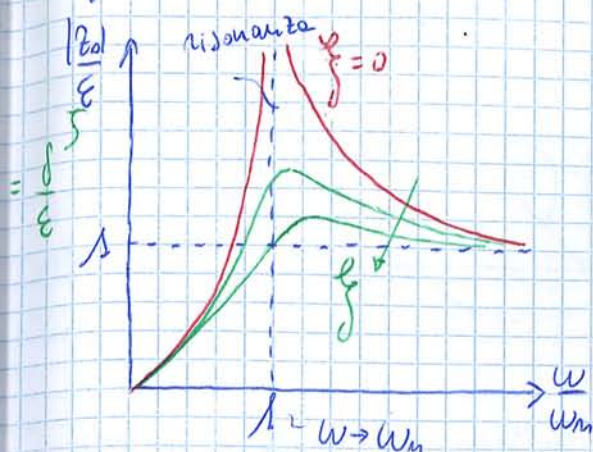
$$\text{con } \omega_m = \sqrt{\frac{k}{m}}$$

$$2g_{wm} = \frac{c}{\mu} = \frac{C}{C_m}$$

ω_m : pp. di frequenza

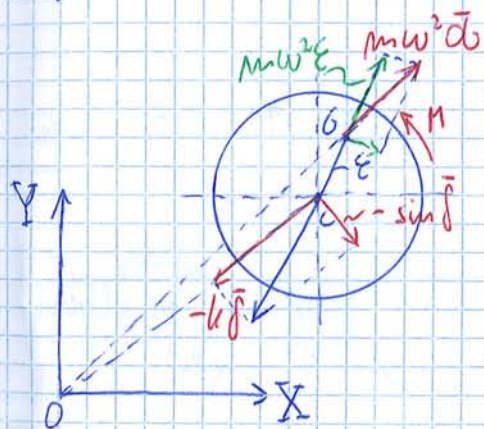


Diagrammi di Bode (FRF) :



Da motori che $m\omega^2 E$ è solo una componente delle forze centrifughe. La forza centrifuga totale è data da $m\omega^2 \bar{O}G$

(DCL)



La soluzione del corpo libero è un'identità e si ottengono gli stessi risultati già visti.

Assegnato \bar{f}_j , l'angolo di fase Ψ cresce al crescere di ω ottenendo tre situazioni:

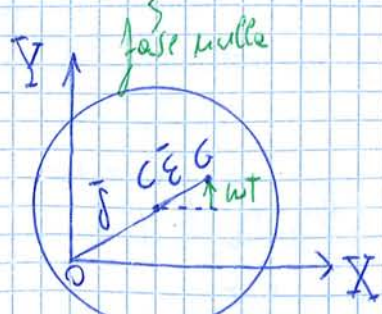
- $\omega < \omega_m \Rightarrow \Psi < 90^\circ$, \bar{f} esterno a C
- $\omega > \omega_m \Rightarrow \Psi > 90^\circ$, \bar{f} interno a C
- $\omega = \omega_m \Rightarrow \bar{C}\bar{f} \perp \bar{O}C$

Nel caso ideale $\bar{f}=0$, e si ha:

- $\omega < \omega_m \Rightarrow \tan \Psi = 0$
- $\omega > \omega_m \Rightarrow \tan \Psi = 180^\circ$
- $\omega = \omega_m \Rightarrow \Psi$ indeterminato

Per esprimere il significato di fase si analizzano le tre situazioni estreme:

Al $\omega \ll \omega_m$, $\bar{f} \approx 0 \Rightarrow \bar{f}$ e \bar{e} sono circa allineati



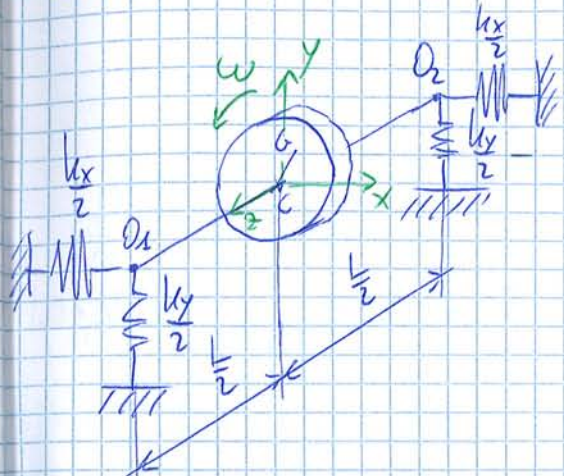
$\frac{\bar{f}}{\bar{e}} \ll 1$, frecce piccole

$wt = \Psi$: posizione angolare del rotore

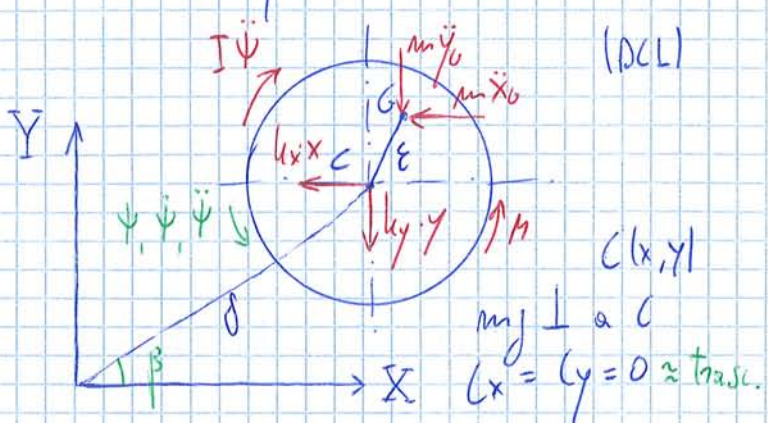
ω : velocità a cui ruota tutto

- Influenza dei supporti elastici: si consideri un albero infinitamente rigido con due supporti volventi alle estremità, cedevoli e anisotropi. Inoltre un disco è posto in mezz'aria.

Si studia il moto di un albero rigido sostenuto da supporti elastici, con costanti di plasticità differenti sui due piani $l_{x_1} \neq l_{y_1}$ (rigidezze differenti e seconde delle direzioni $x, y \Rightarrow$ anisotropia), i due cuscinetti sono uguali ma anisotropi, cioè le loro caratteristiche di elasticità dipendono dalle direzioni considerate.



Anche in questo caso si immagina una situazione di equilibrio statico con $\bar{E} = \bar{C}_0$



L'anisotropia può essere tipica dei cuscinetti magnetici in cui è possibile controllare la rigidezza nelle due direzioni o i cuscinetti lubrificati in cui diverse rigidezze possono essere ottenute modificando le caratteristiche del lubrificante.

Equilibri: $\leftarrow m\ddot{x}_0 + l_x x = 0$, $l_x \neq l_y$, cuscinetti anisotropi
 $\uparrow m\ddot{y}_0 + l_y y = 0$

Ma in tale caso $\dot{\psi} = \omega = \text{costante} \Rightarrow \psi = \omega t$, l'eq. di equilibrio del momento motore non si considera.

$$\begin{cases} x_0 = x + \epsilon \cos \omega t \\ y_0 = y + \epsilon \sin \omega t \end{cases} \Rightarrow \begin{cases} \ddot{x}_0 = \ddot{x} - \epsilon \omega^2 \cos \omega t \\ \ddot{y}_0 = \ddot{y} - \epsilon \omega^2 \sin \omega t \end{cases}$$

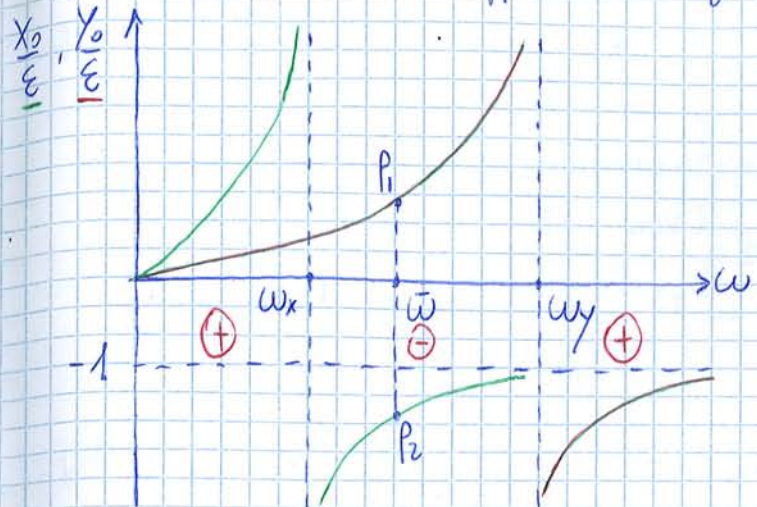
Posizione di G

Si possono scrivere l'eq. del moto:

$$\begin{cases} m\ddot{x} + l_x x = m\omega^2 \epsilon \cos \omega t \\ m\ddot{y} + l_y y = m\omega^2 \epsilon \sin \omega t \end{cases}$$

, con $l_x \neq l_y$ non si ricorre alla costituita complessa \mathbf{z} , ma si effettua una separazione di variabili

Supponendo $w_y > w_x$ si rappresenta la funzione di trasformamento (FRF).



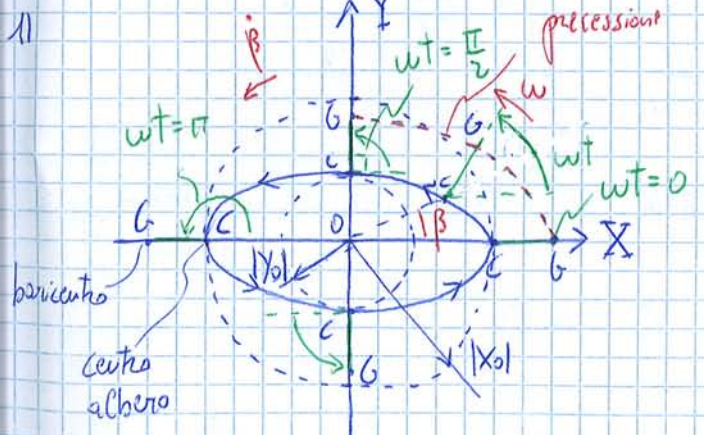
Se x_0, y_0 sono positivi la fase è nulla, altrimenti si ha una fase di 180° nella parte inferiore del grafico.

Per la freq. \bar{w} i punti rappresentativi del sistema sono P_1 e P_2 .

Esempio: $x_0 < 0, y_0 > 0, |x_0| > |y_0|$
 $\Rightarrow \textcircled{-}$

h) $\begin{cases} x_c = x_0 \cdot \cos wt \\ y_c = y_0 \cdot \sin wt \end{cases} \quad x_0, y_0 \in \mathbb{R} \Rightarrow \begin{cases} x_0 = (x_0 + \varepsilon) \cos wt \\ y_0 = (y_0 + \varepsilon) \sin wt \end{cases}$

Orbita di C attorno a O: ellittica. Si distinguono tre casi particolari:



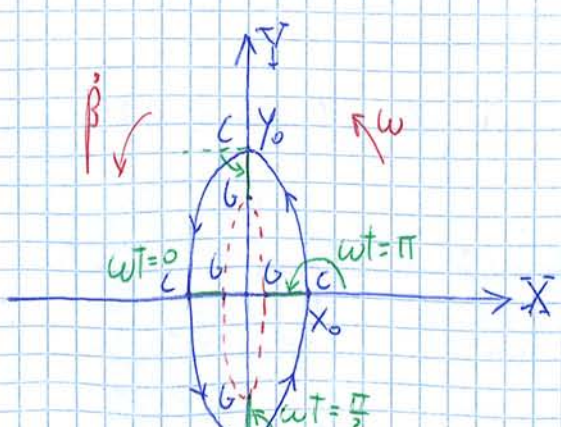
⊕: Forward

$$w < w_x < w_y \Rightarrow |x_0| > |y_0| > 0$$

La vel. angolare dell'albero è inferiore a entrambe le velocità critiche che coincidono con le pulsazioni proprie w_x e w_y . G è all'esterno dell'asse dell'albero, che ruota in senso antiorario assieme alle posizioni di C.

$$w > w_y > w_x \Rightarrow |x_0| < |y_0| < 0$$

L'albero ruota con vel angolare superiore a quelle critiche w_x e w_y , il baricentro G è all'interno della traiettoria ellittica di C (fenomeno di autocentramento). Analogamente a prima ruota e traiettoria hanno lo stesso verso di rotazione antiorario.



⊕: Forward

Autocentramento

$$[I] = \begin{bmatrix} I_{xx} & I_{xy} & I_{xz} \\ I_{yx} & I_{yy} & I_{yz} \\ I_{zx} & I_{zy} & I_{zz} \end{bmatrix}$$

la matrice $[I]$ è simmetrica

$$\downarrow [I] = [I]^T$$

, matrice o tensore d'inerzia, in cui i termini:

$$A = I_{xx} = \int_V \rho dV (y^2 + z^2)$$

$$B = I_{yy} = \int_V \rho dV (x^2 + z^2)$$

$$C = I_{zz} = \int_V \rho dV (x^2 + y^2)$$

sono i prodotti
d'inerzia

$$I_{xy} = I_{yx} = - \int \rho xy dV$$

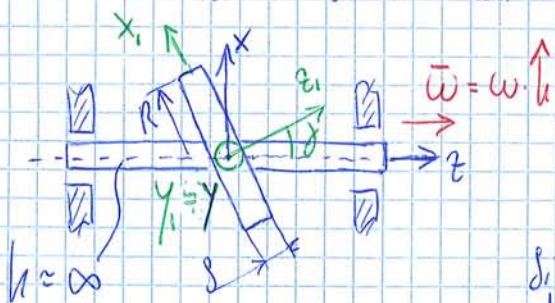
$$I_{xz} = I_{zx} = - \int \rho xz dV$$

$$I_{yz} = I_{zy} = - \int \rho yz dV$$

dono i momenti
centrifughi

Se la massa è centrale, è semplice da individuare per un corpo simmetrico o per un corpo a simmetria di rivoluzioni, basta determinare gli autovalori.

- Esempio 1. Rotore con albero infinitamente rigido e disallineato, cioè il disco non ruota attorno ad un asse principale d'inerzia



x, y, z : Terza baricentrica e fissa

x_1, y_1, z_1 : Terza centrale e solidale al disco
che ruota alla velocità w

Si calcola il momento d'inerzia in base alle
terze mobili x_1, y_1, z_1 :

Momento polare ($I_{z_1 z_1}$)

$$C = I_p = \frac{1}{2} \mu R^2$$

Momento di rotazione ($I_{x_1 x_1}$)

$$A = I_d = \frac{1}{4} \mu R^2 + \frac{1}{12} \mu S^2$$

μ : massa disco, R : raggio disco, S : spessore disco

La velocità w deve essere riferita a $\hat{x}_1, \hat{y}_1, \hat{z}_1$ posto a maggior semplificazione

$$\bar{\omega} = w \hat{i} = \underbrace{[w \hat{i}_1] \hat{i}_1}_{P} + \underbrace{[w \hat{j}_1] \hat{j}_1}_{Q} + \underbrace{[w \hat{k}_1] \hat{k}_1}_{R} \quad \text{con} \quad \begin{cases} p = w \sin \gamma \\ q = 0 \\ r = w \cos \gamma \end{cases}$$

$$\Rightarrow \bar{M}_0 = - (I_p - I_d) w^2 \sin \gamma \cos \gamma \hat{i}_1$$

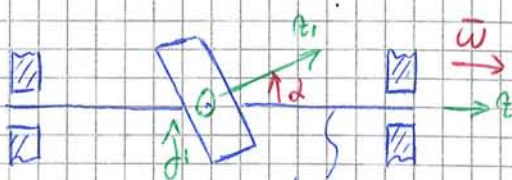
$$\bar{M}_0 = - |I_p - I_d| w^2 \cdot \bar{J}$$

\bar{J} : vettore squilibrio

, per $\gamma \ll 1 \Rightarrow \sin \gamma \approx \gamma, \cos \gamma \approx 1$

- Passato momento risultante delle forze d'inerzia (Parte 2.)

E.s. 1

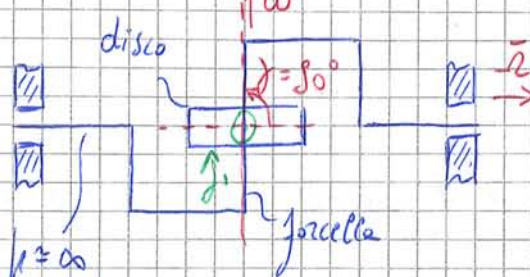


$$\bar{M}^i = -(I_p - I_d)\omega^2 \bar{z}$$

$\bar{z} \approx \infty$ (albero rotante infinitamente rigido)

\bar{z} : errore angolare di montaggio che fa nascere \bar{M}^i $I_p > I_d$
 $I_p < I_d$

E.s. 2

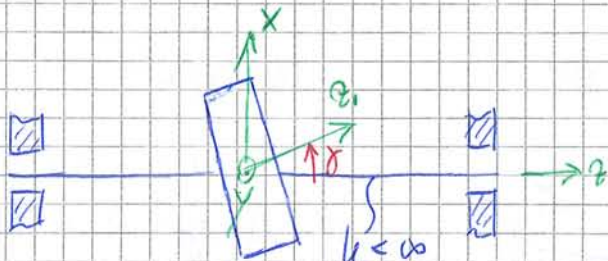


$$\bar{M}^i = -I_p\omega^2 \bar{z}$$

\bar{M}^i è un momento giroscopico che tende a riportare ω su \bar{z} . In genere $\omega < \bar{\omega}$.

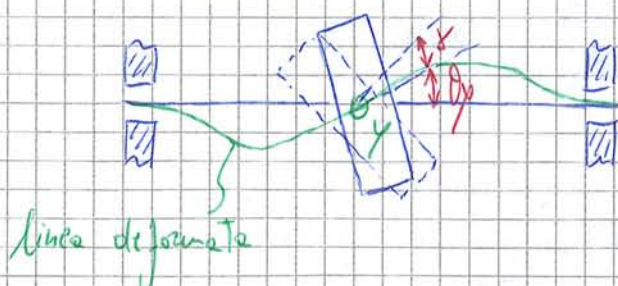
Solido giroscopico: solido caratterizzato dal fatto che tende a mantenere il suo asse di rotazione orientato in una direzione fisica, la coppia di assi ortogonali agli assi polari è una coppia principale (è un solido di rivoluzioni). I freni a esso collegati si chiamano freni giroscopici.

- ROTORE CON SQUILIBRIO DINAMICO: il modello proposto definisce una situazione più realistica con albero flessibile $\bar{M}^i = \text{costante} < \infty$



Nascono azioni d'inerzia e l'albero inizia a inflettersi, ciò implica una rotazione θ_y della linea elastica.

Componevi di rotazioni della linea \bar{x}_y, \bar{y}_y . Alle rotazioni si aggiunge l'effetto dello squilibrio dinamico.



Lo squilibrio dinamico γ impedisce al disco di ruotare attorno al suo asse polare.

$$\text{Equilibrio alla rotazione: } \text{(1)} \quad I_d \cdot \ddot{\theta}_x + T_p w \dot{\theta}_y + h \dot{\theta}_x = 0$$

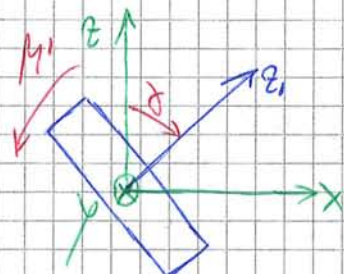
$$\text{(2)} \quad I_d \cdot \ddot{\theta}_y - T_p w \dot{\theta}_x + h \dot{\theta}_y = 0$$

Si ha una condizione di "moto libero" che avviene in presenza di una $w \neq 0$, mentre $\dot{\theta}_x$ individua la precessione, cioè l'anticipazione della linea elastica, l'asse del disco descrive un moto regolato dall'angolazione associata con traiettoria che forma un cono.

- Si applica la forzante con squilibrio dinamico $\gamma \neq 0$ e quindi le sovrapposizioni degli effetti:

$$\text{Risposta Totale} = \text{Risposta libera} + \text{Risposta forzata}$$

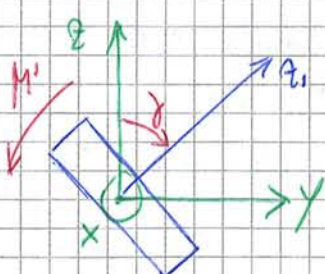
Effetto di γ in $wt=0$ con $\dot{\theta}_x = \dot{\theta}_y = 0$



$M^1 = |I_p - I_d| w^2 \gamma$, momento readdizionante che tende a diminuire γ .

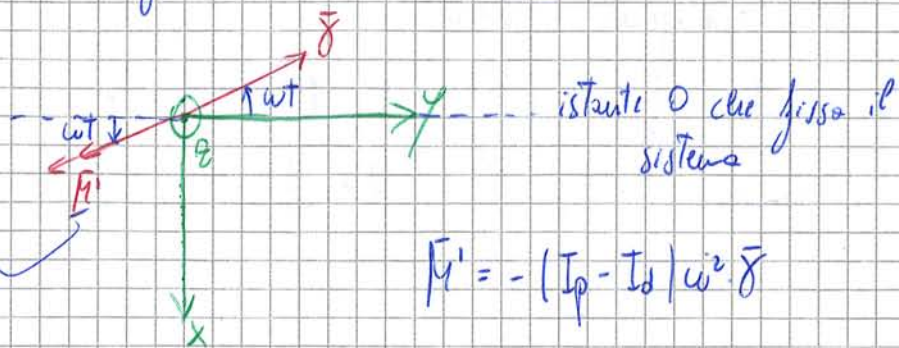
γ ha lo stesso verso di y con la regola della mano destra. L'altro è indeformato.

Effetto di γ in $wt = \frac{\pi}{2}$ con $\dot{\theta}_x = \dot{\theta}_y = 0$



γ ha lo stesso verso di $-x$ con la regola della mano destra. Lo squilibrio dinamico è un vettore rotante e per un disco sottile gli ha M^1 readdizionante.

Effetto di γ in un caso intermedio (generale) $0 < wt < \frac{\pi}{2}$



(è opposto a γ , si vede dall'Esempio 1.)

$$M^1 = -(I_p - I_d) w^2 \bar{\gamma}$$

In presenza di smorzamento il moto di precessione decade nel tempo, quindi senza smorzamento ($\Rightarrow \lambda \in \mathbb{R}$) e il sistema è conservativo, si tratta di sistemi gioscopi più conservativi senza dissipazioni.

$$\theta = \theta_0 \cdot e^{i\lambda t} \quad \lambda \in \mathbb{R}, \omega = \text{costante} \rightarrow \text{Velocità di rotazione del rotore.}$$

Sostituendo θ nelle equazioni associate si ha
(ma i dirò che $\lambda = \omega$)

$$(-\lambda^2 I_d - i I_p \omega i) + k \cdot \theta_0 e^{i\lambda t} = 0$$

$$I_d \cdot \lambda^2 - I_p \omega \lambda - k = 0$$

$$\lambda = \frac{I_p \omega \pm \sqrt{(I_p \omega)^2 + 4kI_d}}{2I_d} \quad \Delta > 0 \text{ sempre positivo, quindi il sistema è conservativo.}$$

$\theta = \theta_{10} \cdot e^{i\lambda_1 t} + \theta_{20} e^{i\lambda_2 t}$, il sistema è stabile con soluzioni reali λ_1, λ_2 una positiva e l'altra negativa per cui si avranno due moti liberi di precessione, uno in avanti e l'altro all'indietro!

$$\lambda_1 = \frac{I_p \omega + \sqrt{(I_p \omega)^2 + 4I_d k}}{2I_d} > 0 \quad \text{Forward} \quad \frac{1}{\omega} > 0 \quad \rightarrow \text{Moto di precessione in avanti concorde}$$

$$\lambda_2 = \frac{I_p \omega - \sqrt{(I_p \omega)^2 + 4I_d k}}{2I_d} < 0 \quad \text{Backward} \quad \frac{1}{\omega} < 0 \quad \rightarrow \text{Moto di precessione retrogrado all'indietro discorde}$$

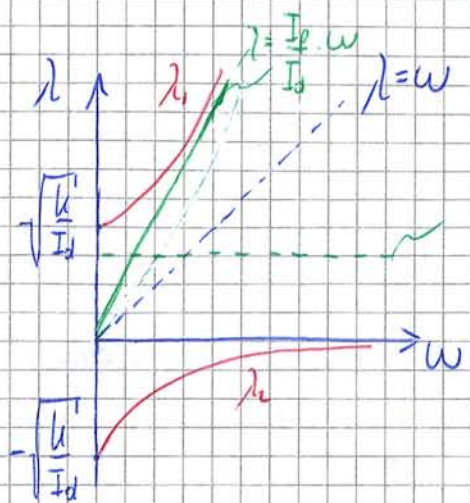
- Traiettoria descritta dall'asse del disco: • Il baricentro resta fisso
- l'asse del disco descrive un cerchio o due falda concorde o discorde con ω
- le pulsazioni proprie λ_1, λ_2 sono funzioni dipendenti da ω ($|\lambda| = \lambda(\omega)$)
- Comportamento asintotico per $\omega \rightarrow \infty$

$$\lambda_1 \approx \frac{I_p \omega + I_p \omega}{2I_d} = \frac{I_p \cdot \omega}{2I_d} \quad (\text{Asintoto obliqua})$$

$$\lambda_2 \approx \frac{I_p \omega - I_p \omega}{2I_d} = 0 \quad (\text{Asintoto orizzontale e nullo})$$

Autovalue $\lambda_1, \lambda_2 \in \mathbb{R}$

- Diaframmari di Campbell: rappresentazioni grafiche in cui sono riaccostate tutte le informazioni sul rotore. Sono rappresentati gli autovettori λ in funzione delle velocità di rotazione.



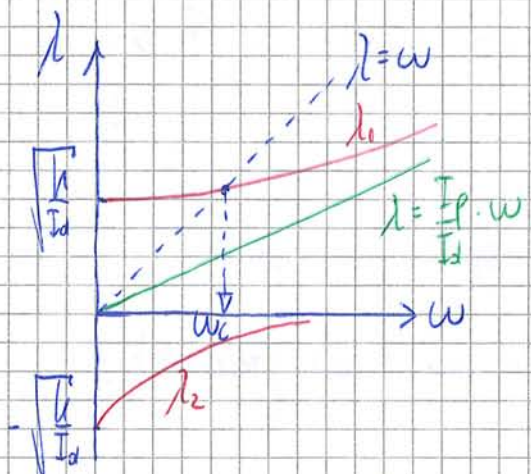
• Campbell con $\frac{I_p}{I_d} > 1$ (disc) Autovettori: $\lambda_1 > 0, \lambda_2 < 0$

$\lambda = \text{cost.}$ per rotore di Jeffcott, rappresenta lo squilibrio statico

Autovettori: $\lambda_1 > 0, \lambda_2 < 0$

Quando il motore è fermo ($w=0$): $\lambda_{1,2} = \pm \sqrt{\frac{I_p}{I_d}}$

può accadere nel caso di una martellata che colpisce il motore (caso vibrazionale)



• Campbell con $\frac{I_p}{I_d} < 1$ (rotor lungo)

L'eccitazione provoca lo squilibrio dinamico, il fenomeno giroscopico è fondamentale (matrice antisimmetrica).

w_c : vel critica, una delle freq. proprie coincide con una delle pulsazioni proprie

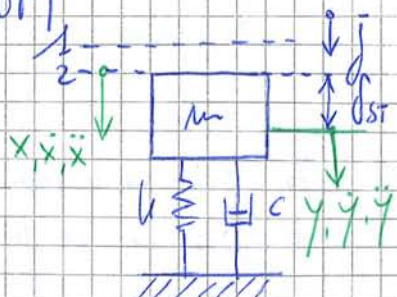
$\lambda = w$: eccitazione sincrona, la forza viaggia con la stessa pulsazione dell'eccitazione.

λ_1, λ_2 rappresentano il comportamento libero e non sono rettilinee a causa degli effetti giroscopici.

E SERCIZI

(3DOF)

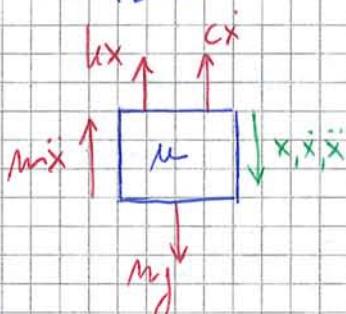
E11



- 1: senza forza peso
- 2: equilibrio statico

Maschia un soggetto a forza peso vincolato al terreno tramite molla elastica e smorzatore C. Si vuole ricavare l'eq. del moto.

(DCL)



$$\sum_i \bar{F}_i - M\ddot{g} = 0$$

La forza peso nel dubbio viene sempre messa, al massimo è ininfluente annullandosi successivamente

$$m\ddot{x} + c\dot{x} + kx = mg$$

termine forzante = costante

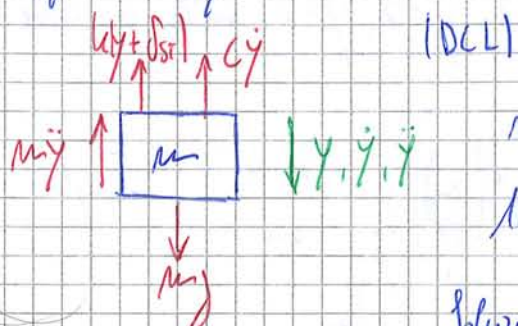
(Soluzione a regime): $x(t) = x_H(t) + x_p(t)$

$$+ \text{transitorio} \quad x(t) = (a \cos \omega_n t + b \sin \omega_n t) e^{-\zeta \omega_n t} + \frac{mg}{k}$$

$\bar{F}_{SI} \stackrel{\text{def}}{=} \frac{mg}{k}$, spostamento statico

Si considera il caso sottosmrzato $\zeta < 1$: $\omega_n^2 = \frac{k}{m}$, $\zeta = \frac{c}{2m\omega_n}$

Si sottopone il sistema a uno spostamento inquinario dell'equilibrio statico pari a y:



$$(DCL) \quad mȳ̄ + cȳ̄ + kȳ̄ + \bar{F}_{SI} = mȳ̄$$

In tal caso la forza peso è ininfluente.

Soluzione al transitorio: $mȳ̄ + cȳ̄ + kȳ̄ = 0$ *

$$(* \text{ Eq. del moto}) \quad y(t) = (a \cos \omega_n t + b \sin \omega_n t) e^{-\zeta \omega_n t}$$

legge oraria

Linearizzazione

Per θ_{eq_1} : $\ddot{\theta}(0, \dot{\theta}) \approx -\frac{mgl}{I_0} \sin \theta_{eq_1} - \frac{mgl}{I_0} \cos \theta_{eq_1} (\dot{\theta} - \dot{\theta}_{eq_1}) \approx -\frac{mgl}{I_0} \dot{\theta}$

$$\ddot{\theta} = -\frac{mgl}{I_0} \dot{\theta}$$

$$I_0 \ddot{\theta} + mgl \cdot \dot{\theta} = 0$$

Soluzione: $\dot{\theta} = (a \cos \omega_m t + b \sin \omega_m t)$, con $\ddot{\theta} = 0$

$$\omega_m^2 = \frac{mgl}{I_0} \Rightarrow \omega_m = \sqrt{\frac{mgl}{I_0}}$$

Per θ_{eq_2} : $\ddot{\theta}(0, \dot{\theta}) \approx -\frac{mgl}{I_0} \sin \theta_{eq_2} - \frac{mgl}{I_0} \cos \theta_{eq_2} (\dot{\theta} - \dot{\theta}_{eq_2}) \approx \frac{mgl}{I_0} (\dot{\theta} - \pi)$

$$\ddot{\theta} = \frac{mgl}{I_0} (\dot{\theta} - \pi)$$

$$I_0 \ddot{\theta} - mgl \dot{\theta} = -\frac{mgl}{I_0} \cdot \pi \quad (\text{monodromia})$$

Soluzione: $\dot{\theta} = (a \cos \omega_m t + b \sin \omega_m t) + \dots \rightarrow$ non adatta

$$I_0 \ddot{\theta} - mgl (\dot{\theta} - \pi) = 0 \Rightarrow (\dot{\theta} - \pi, \theta, \dot{\theta})$$

$$\omega_m^2 = \dots$$

$$I_0 \ddot{\theta} - mgl \dot{\theta} = 0 \quad , \text{monodromia assorbita}$$

$$\dot{\theta} = A e^{st} \Rightarrow I_0 s^2 - mgl = 0$$

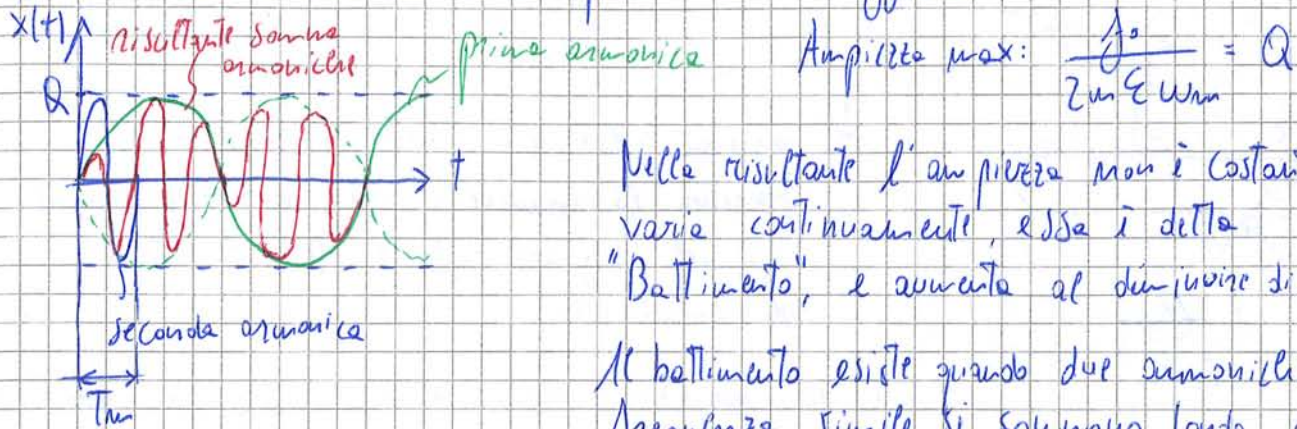
$$s = \pm \sqrt{\frac{mgl}{I_0}}$$

$$\dot{\theta} = A_1 \cdot e^{-\sqrt{\frac{mgl}{I_0}} \cdot t} + A_2 \cdot e^{\sqrt{\frac{mgl}{I_0}} \cdot t} + \pi$$

Il sistema è instabile, cioè al crescere del tempo cresce $\dot{\theta}$. Le soluzioni valgono nella ipotesi di piccole oscillazioni, cioè $\dot{\theta}$ non andrà all'infinito per t grandi.

$\Omega \approx \omega_m$ è vicino allo smorzamento: ξ diventa piccola e siccome $\xi = \frac{2\pi}{T_E}$
il suo periodo T_E diventa grande rispetto al periodo associato
 $\omega_m = \frac{2\pi}{T_m}$.

Si sommano 2 armoniche con periodo molto differente tra loro:



Nella risultante l'ampiezza non è costante, ma varia continuamente, essa è detta "Battimento", e aumenta al diminuire di ξ

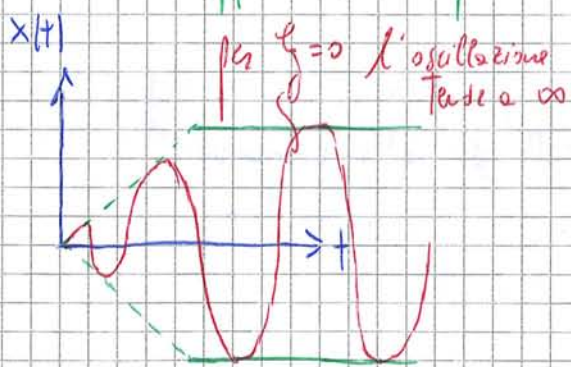
Il battimento esiste quando due oscillazioni di frequenze simili si sommano londe con freq. elevata le cui ampiezze varia regolarmente nel tempo.

Se $\Omega \rightarrow \omega_m$ si ha resonanza $\Rightarrow (\xi \rightarrow 0)$ l'ampiezza $\rightarrow \infty$, anche $T_E \rightarrow \infty$

$$\lim_{\Omega \rightarrow \omega_m} |x(t)| = \lim_{\Omega \rightarrow \omega_m} \frac{f_0 (-t \sin \Omega t)}{-2 \mu \Omega} = \frac{f_0}{2 \mu \omega_m} + \sin \omega_m t$$

Si applica De Hospital

$$\lim_{x \rightarrow c} \frac{f'(x)}{g'(x)} \in \mathbb{R}$$



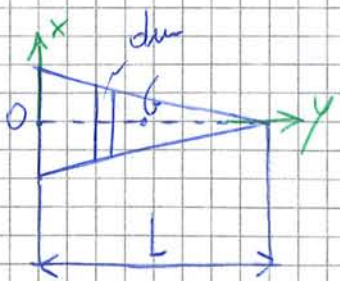
In resonanza l'ampiezza tende a diventare grande, ma non aumenta istantaneamente.

Con smorzamento $\xi \neq 0$ dopo il transitorio l'ampiezza non cresce più ma si assiste a un variazione:

$$A = \frac{f_0}{\sqrt{(k - m\omega)^2 + (c\omega)^2}}, \text{ nel transitorio il comportamento è simile a } \xi = 0$$

Per il battimento con smorzamento l'ampiezza, finito il transitorio si stabilisce ad ampiezza:

$$A < \text{ampiezza max battimento}$$



$$\mu = \mu_0 \left(1 - \frac{y}{L}\right)$$

massa per unità di lunghezza dell'elemento

$$dm = \rho dV = \rho dy = \rho dy \beta$$

$$I_o = I_0 + M_0 b^2$$

$$\mu_0 = 100 \frac{\text{kg}}{\text{m}^2}$$

$$\begin{cases} \text{di } \mu_0: \\ g \approx 60\%, \quad \theta_{\max} = 5^\circ \end{cases}$$

$$I_o = \int_m y^2 dm = \int_0^L y^2 \mu_0 dy = \int_0^L y^2 \mu_0 \left(1 - \frac{y}{L}\right) dy = \frac{1}{12} \mu_0 L^3$$

$$I_o = 1,04 \text{ kg m}^2$$

$$\Rightarrow I_o \ddot{\theta} + cL^2 \ddot{\theta} + k_{eq} \dot{\theta} = uLR \sin \omega t \quad \text{eq. del moto}$$

$$k_{eq} = k_T + k_L^2$$

$$\theta = \theta_0 \cdot \sin(\omega t + \varphi)$$

$$\text{con } \theta_0 = \frac{\theta_0}{\sqrt{1 - \frac{cL^2}{k_{eq}}}} = \frac{uLR}{2g \sqrt{1 - \frac{g^2}{k_{eq}}}} *$$

$$* \text{ In condizioni di rilievo: } \omega_R = \omega_m \sqrt{1 - 2\frac{g^2}{k_{eq}}} \text{ per } \theta_{\max}$$

$$\tau_c = \frac{\tau}{\omega_m}, \quad \omega_m = \sqrt{\frac{k_{eq}}{I_o}}$$

$$\text{Per } \theta_{\max} = 5^\circ, \quad \tau = \omega_m s = \omega_m \cdot \sqrt{1 - 2\frac{g^2}{k_{eq}}} \Rightarrow \tau_c = \sqrt{1 - 2\frac{g^2}{k_{eq}}} \text{ da sostituire in (1)}$$

$$\Rightarrow \theta_{\max} = \frac{uLR}{2g \sqrt{1 - \frac{g^2}{k_{eq}}}} \Rightarrow k_{eq} = \frac{uLR}{2\theta_{\max} g \sqrt{1 - \frac{g^2}{k_{eq}}}} = 117 \text{ kN} \cdot \frac{\text{m}}{\text{rad}}$$

$$k_T = k_{eq} - k_L^2 = 13 \text{ kN} \frac{\text{m}}{\text{rad}} = 330 \text{ N/m}$$

$$\omega_m = \sqrt{\frac{k_{eq}}{I_o}} = 177 \text{ rad/s}$$

Chilogrammi al grado:

significa che si ha bisogno di 330 kg per far ruotare l'asta di un grado.

$$\tan \varphi = \pm \frac{2\frac{g^2}{k_{eq}}}{1 - \tau_c^2} \Rightarrow \varphi = -41,4^\circ$$

La risposta è in ritardo di $41,4^\circ$ rispetto al segnale d'ingresso.